

МИНИСТЕРСТВО ГЕОЛОГИИ СССР
МИНИСТЕРСТВО ГЕОЛОГИИ РСФСР
ЯКУТСКОЕ ПРОИЗВОДСТВЕННОЕ ГЕОЛОГИЧЕСКОЕ ОБЪЕДИНЕНИЕ

Уч. № 012

Экз. № 163

ГЕОЛОГИЧЕСКАЯ КАРТА СССР

МАСШТАБА 1:200 000

СЕРИЯ МАЙСКАЯ

Лист Р-54-XIV

Объяснительная записка

Составитель В. Е. Скрипников

Редактор Л. А. Снятков

Утверждено Научно-редакционным советом ВСЕГЕИ

18 марта 1971 г., протокол № 8

МОСКВА 1985

О ГЛАВЛЕНИЕ

Стр.

Введение	5
Геологическая изученность	6
Стратиграфия	12
Интузивные образования	29
Тектоника	47
Геоморфология	57
Полезные ископаемые	61
Подземные воды	72
Оценка перспектив района	75
Литература	76
Приложения	79

ВВЕДЕНИЕ

Территория листа Р-54-ХУ входит в состав Томпонского и Усть-Майского районов Якутской АССР. Эта территория ограничена координатами $62^{\circ} - 62^{\circ}40'$ с.ш. и $139^{\circ} - 140^{\circ}$ в.д. Большая ее часть располагается в Сунтарском горном массиве. Узкая полоса ее площади к югу от р.Халыя относится к Юдомо-Майскому нагорью. В пределах Сунтарского массива развит преимущественно высокогорный рельеф, характеризующийся относительными превышениями от 900 до 1300 м. Юдомо-Майское нагорье имеет среднегорный рельеф с относительными превышениями в 600-700 м.

Очень разветвленная речная сеть района относится к системе р.Тыры, правого притока р.Алдана. Основные водные артерии р.Тыры и ее левые притоки, рек Халыя и Долгучан пересекают район в широтном направлении. Они имеют широкие, хорошо разработанные долины троговой формы. Ширина долины р.Тыры колеблется от 500 до 1500 м. Русло р.Тыры достигает ширины 60-70 м, а ее глубина изменяется от десятков сантиметров на перекатах до 2 м на плёсах. Выше устья руч.Стойбашного река маловодна, несмотря на значительную водосборную площадь. Ниже этого места дебит реки резко увеличивается. В районе пос.Нежданинского река имеет поверхностный сток и зимой. Дебит ее в этом месте колеблется от 300 м³/с в паводок до 1,5 м³/с в минимальный зимний межень. Река Халыя по дебиту близка к р.Тыры и имеет долину шириной выше 2 км. Русло ее шириной 40-60 м и глубиной до 1,5 м часто разбивается на множество проток, образуя большое количество пойменных островов. Долина реки сильно заболочена и залесена. Река Долгучан по своему дебиту меньше упомянутых рек в 2-3 раза. Боковые притоки крупных рек начинаются на широких и пологих водоразделах, нижние и средние их части имеют узкие, глубоко врезанные долины, часто каньонообразные, с многочисленными порогами и водопадами.

Редко встречающиеся озера ледникового происхождения имеют небольшие размеры и глубину и располагаются на низких террасах или в карах.

Климат района резко континентальный, с продолжительной, холодной зимой и жарким, коротким летом. Минимальная температура в январе–декабре достигает минус 48–58°C, максимальная в июле равна плюс 30°C. Среднегодовая температура составляет около минус 10°C. В течение года выпадает около 200 мм осадков, большая часть которых приходится на летний период. Снеготаяние начинается в мае. Постоянный снежной покров ложится в первой половине сентября.

В долинах крупных рек растет смешанный лес, состоящий из даурской лиственницы, тополя, осины, ивы, ольхи, реже березы и рябины. Слоны гор обычно покрыты кедровым стлаником. Верхней границей распространения леса являются абсолютные отметки от 1200 до 1400 м. Даурская лиственница в долинах рек Тыры и Халны дает участки со строительным лесом. Животный мир района сравнительно разнообразен. Наиболее распространеными его представителями являются северный олень, лось, бурый медведь, волк, росомаха, горный баран, заяц, белка, бурундук.

В экономическом отношении район относится к неосвоенным. Единственным населенным пунктом является пос. Нежданинский – база одноименной разведочной партии. Расположен он в приусадебной части р. Мал. Кидерики, на правом берегу р. Тыры. Дорога – автозимник (110 км), связывает поселок с автотрассой Ханзыга – Магадан. Возле пос. Нежданинского существует посадочная площадка для самолетов типа АН-2. Для перевозок внутри района пригоден лишь выручный транспорт. Он может применяться только по долинам основных рек и их наиболее крупных притоков. Остальная часть территории для этого вида транспорта остается недоступной.

Первые сведения о районе, в основном географического характера, были приведены в 1747 г. в отчете А. Метенева. Им было установлено наличие серебра в полиметаллических рудах из описываемого района.

ГЕОЛОГИЧЕСКАЯ ИЗУЧЕННОСТЬ

Геологическое изучение района началось в 1934 г., когда Н. Д. Соболев провел маршрутные исследования в районе с детализацией отдельных рудных участков. Впервые были описаны граниты Эмчирчанского массива, эфузивные породы, дайки и приведена ха-

рактеристика Кытыл-Тасского месторождения. В этом же году на левобережье р. Халны Д. Ф. Бойков (13) провел геологическую съемку масштаба 1:200 000, закартировав пермские отложения.

В 1937 г. в северной части Южного Верхоянья проводил работы И. П. Атласов. В составе терригенного комплекса он выделил нижнепермские, среднетриасовые и верхнетриасовые отложения, разделенные несколькими перерывами. И. П. Атласов впервые описал Средне-Халнинский массив и ряд рудопроявлений вольфрама и олова в бассейне руч. Ветвистого. В шихах из аллювиальных отложений руч. Хербак были установлены повышенные содержания кассiterита. Предложенная им стратиграфическая схема в дальнейшем не подтвердилась.

А. Г. Булдаков (14) в 1940 г. установил наличие россыпей золота в долине руч. Малые Кидерики; одновременно он подчеркивал, что условия для образования крупных россыпей здесь отсутствуют.

В 1941 г. на территории листа проводили исследования В. П. Моторов и В. И. Тычинский (28). Ими была установлена оловянность аллювия по руч. Кильдеркич и руч. Астрочан и их крупным притокам. По результатам работ В. И. Тычинского в 1943 г. в бассейне руч. Астрочан была организована Халнинская разведочная партия, которая открыла Астрочанско-е рудопроявление олова кварц-кассiterитовой формации. В связи с весьма небольшими размерами рудных тел рудопроявление было отнесено к бесперспективным.

Систематическое изучение геологии Южного Верхоянья начинается с 1951 г. В этих работах принимали участие геологи Альянского геологоразведочного управления Г. Ф. Гурин, Т. С. Кирусенко, Д. И. Ларин, Б. Ф. Баранов, В. М. Базилевский, С. В. Домохотов, М. Г. Зиновьев, А. Ф. Теслин и др.

Гурин Г. Ф. (17), в 1951 г. проводивший работы масштаба 1:100 000 в Тыры-Лыбинском междуречье, при расчленении осадочной толщи придерживался взглядов И. П. Атласова. В процессе работ были открыты проявления полиметаллических руд, золота, олова и вольфрама, приуроченные к разломам северо-восточного простирания. Обнаруженные на Мало-Кидерикинском участке (ныне Нежданинское месторождение) золотоносные жилы и минерализованные зоны дробления рекомендовались им для постановки детальных работ.

В бассейне руч. Ветвистого в аллювиальных отложениях были обнаружены знаки золота, вольфрамита, шеелита и кассiterита.

Г. Ф. Гурин (18), в 1952 г. продолжавший работы масштаба 1:100 000, в восточной части района выделял пермские, пермско-триасовые, верхнетриасовые и нижне-, среднерусские отложения. Эфузивные образования отнесены им к раннемеловому возрасту.

Лайки лишаритов в бассейне руч. Астрочан рассматривались как подводящие магматические каналы. Здесь же им открыты рудопроявления олова, вольфрама, молибдена и полиметаллических руд.

Т.С.Киусенко (24), проводившая поисковые исследования в 1952 г. в бассейне руч. Мал. Кидерики, выделила три золотоносных зоны дробления. Наиболее крупная из них, названная Нежданинской, была вскрыта канавами на протяжении 4 км. Кроме того, были выявлены две кварцевые жилы с высоким содержанием золота. Т.С.Киусенко рекомендовала дальнейшее изучение Нежданинского месторождения.

Б.Ф.Баранов в 1952 г. (12) изучал Кытыл-Тасский рудный участок в масштабе 1:25 000. Канавами были вскрыты отдельные рудные тела. Составлена схематическая геологическая карта рудного поля.

В 1953 г. в районе проводились работы масштаба 1:100 000 Т.С.Киусенко и Д.И.Ларином. Т.С.Киусенко (25) в бассейне среднего течения р.Халы выделила верхнепермские, нижне- и среднетриасовые, карнийские, норийско-лейасовые и среднешорские отложения, слагающие нижний структурный этаж. К верхнему структурному этажу ею отнесены вулканогенные образования. Она объединила Джотысканское субвулканическое тело и Средне-Халынский интрузив в один массив, считая субвулканическое тело фациальной разностью пород массива. В бассейне руч. Одинокого были зафиксированы в роговиках небольшие проявления олова. В бассейне руч. Хаман описано рудопроявление вольфрама.

Д.И.Ларин (26) в западной части района выделил отложения перми и триаса. Породы, слагающие Средне-Халынский массив, определены им как плагиограниты. На левобережье р.Тыры были закартированы небольшие массивы гранитоидного состава. При характеристике циклативных структур отмечаются широкие антиклинальные складки и узкие синклинали.

В 1954 г. оценку вольфрам-оловянных проявлений в масштабе 1:25 000 в роговиковом поле бассейна руч. Ветвистого производил В.М.Базилевский (10). Канавами были изучены как известные ранее, так и вновь открытые рудопроявления вольфрама и олова. Поле роговиков считалось перспективным для поисковых коренных месторождений этих элементов. Для дальнейшего изучения рекомендовалась деловиальная россыпь по ручьям Тарыну и Одинокому.

В этом же году коллектив геологов под руководством С.В.Домохотовым (21) составил схему стратиграфического расчленения пермских отложений, основа которой сохранилась до настоящего времени. Снизу вверх были выделены дыбинская свита нижней перми

и менкеченская, чамбинская и имтачанская свиты верхней перми. Для всех свит составлены послойные разрезы, охарактеризованные фауной.

В 1955 г. в северо-восточной части района была проведена съемка масштаба I:100 000 под руководством М.Г.Зиновьева (23). Расчленение пермских пород производилось по схеме, предложенной С.В.Домохотовым. В отложениях триаса была выделена малтанская свита, условно датируемая средним триасом. Структуру района М.Г.Зиновьев характеризовал как складчато-блоковую.

В это же время Г.Г.Пименов изучал в масштабе I:25 000 рудопроявления олова на руч. Одиноком. Отчет о работе составлен В.М.Базилевским (II). Верхнепермские отложения авторами были разделены по схеме С.В.Домохотова, нижний триас выделен в не-кучансскую свиту, средний триас – в малтанскую. На руч. Одиноком было изучено пять касситерит-сульфидных жил мощностью 15–20 см, приуроченных к мощной зоне дробления.

В 1956 г. в западной части района проводилась геологическая съемка масштаба I:200 000 под руководством С.А.Давыденко (20). Отложения пермского возраста им были расчленены на слишком крупные подразделения, поэтому геологическая карта дает очень приблизительное представление о строении района.

В 1956 г. началась поверхностная разведка Нежданинского месторождения. Исследования проводил Ю.Г.Пономарев (31). Им впервые была установлена приуроченность месторождения к своду Дыбинской антиклинали. Нежданинская минерализованная зона дробления была прослежена канавами на 5 км по простирианию. Месторождение рекомендовано для проведения дальнейших более детальных работ. В долинах ручьев Мал. Кидерики и Зимовье была установлена незначительная золотоносность современных и более древних аллювиальных отложений. Так как на террасах шурфы были не добиты до плотных пород, результаты нельзя считать окончательными. В 1957 г. Г.М.Сотниковым были подсчитаны запасы на Нежданинском месторождении по кат. С₁ и С₂ по отдельным кварцевым жилам, после чего дальнейшая разведка его была прекращена.

В 1958 г. К.К.Напошниковым (36) проводились гравиметрические и магнитометрические исследования маршрутного характера, в результате которых было установлено, что глубина залегания докембрийского кристаллического фундамента в бассейне р.Тыры от 12 до 19 км. Предполагалось, что наиболее прогнутая часть Южно-Бероянского синклиниория находится в верховьях рек Аллах-Юнь, Халы и Тыры. В западной части района отмечались Кидерикинский

и Менколенский глубинные разломы субмеридионального направления с опущенными восточными крыльями.

В 1960 г. на территории южной половины листа Г.П.Павлов (30) проводил работы по дополнительному сбору материалов для составления Государственной геологической карты масштаба 1:200 000. Осадочные отложения были расчленены по схеме, предложенной С.В.Домохотовым. Описаны Средне-Халынский, Джотыканский массивы и тела эруптивных брекчий гранодиорит-порфирового состава.

В 1960 г. С.В.Домохотовым (4) была составлена Государственная геологическая карта СССР масштаба 1:1 000 000. Схема стратиграфического подразделения,ложенная в основу геологической карты, до настоящего времени не потеряла практического значения. Среди магматических образований выделены позднегорские, раннемеловые и позднемеловые. Автором была составлена первая тектоническая схема Южно-Верхоянского синклиниория, на которой были показаны основные дислокативные и пликативные структуры.

В 1963 г. в Южном Верхоянье была проведена аэромагнитная съемка масштаба 1:200 000. Южно-Верхоянский синклиниорий характеризуется незначительными положительными значениями магнитного поля. На этом общем фоне выделяется ряд линейных положительных аномалий, которые интерпретируются как глубинные разломы. Положительным магнитным полем характеризуются также контактово-метаморфизованные породы.

В этом же году, после пересчета запасов по минерализованным зонам, возобновились разведочные работы на Нежданинском месторождении.

С 1963 г. с целью поисков и оконтуривания оруденелых зон и кварцевых жил на Нежданинском месторождении проводились геофизические работы. Одновременно с разведочными и геофизическими работами на месторождении проводились структурно-минералогические исследования. В 1964 г. были завершены работы по изучению структурных и минералогических особенностей месторождения сотрудниками ЯФ СО АН СССР В.А.Соловьевым и Л.И.Борисовой (35). Опираясь на результаты работ по поверхности авторы пришли к выводу, что Нежданинское золоторудное месторождение имеет прямую минералогическую зональность. Она заключается в том, что продукты более поздних стадий минералообразования занимают более периферические части месторождения, чем продукты ранних стадий. В.А.Соловьев и Л.И.Борисова считали, что месторождение генетически связано с Курумским гранодиоритовым массивом. Они приводят подробную минералогическую характеристику руд.

Для составления геологической карты и изучения флангов Нежданинского месторождения в 1966 г. проводились геологические съемки масштаба 1:50 000. В северо-западной части территории В.А.Колонтаевским (26) установлено затухание золотого оруденения к северу от долины руч.Курум. К югу от русла р.Тыры Н.В.Голоперовым (15) впервые описаны рудопроявления золота в бассейне руч.Гельдин. Стратиграфическое расчленение терригенной толщи в обоих партиях производилось по схеме, предложенной С.В.Домохотовым.

В 1966-1967 гг. М.К.Силичевым и Н.В.Белозерцевой (32) изучались структура и минералого-геохимические особенности Нежданинского золоторудного месторождения. В результате проведенных исследований было с достаточной полнотой определено структурное положение месторождения, реконструирована история структурного и минералогического развития месторождения во времени. Изучая закономерности распределения минеральных ассоциаций на различных горизонтах месторождения, авторы пришли к выводу, что продукты ранних стадий минералообразования широко развиты на месторождении. В то же время поздние продуктивные минеральные ассоциации прятятся к его центральным частям. На этом основании авторы приходят к выводу о наличии на месторождении обратной минералогической зональности. Генетическая связь месторождения с Курумским массивом ими отрицается.

В 1967 г. была закончена аэромагнитная съемка масштаба 1:50 000 части Южного Верхоянья, включая и территорию описывающего листа (19). На последней установлены линейные положительные аномалии, которые интерпретируются как глубинные разломы. Над интрузивными массивами развиты отрицательные магнитные поля, а контактово-метаморфизованные породы характеризуются положительными значениями магнитного поля. В этом же году В.И.Носаковым (29) завершена гравиметрическая съемка листа Р-54 масштаба 1:1 000 000, на основании которой были выявлены региональные глубинные разломы, часть из которых отмечается на территории листа, и установлено погружение фундамента в восточном направлении.

В 1967 г. на территории юго-восточной части листа была проведена Н.В.Голоперовым (16) съемка масштаба 1:50 000. В результате проведенной работы было уточнено геологическое строение района, получены данные о широком развитии разломов, окаймляющих поля эфузивов. В отношении полезных ископаемых изученный район признан бесперспективным.

В 1966–1967 гг. на территории листа В.Е.Скрябниковым и Г.П.Павловым (33) проводились редакционно–увязочные маршруты масштаба 1:200 000. В результате проведенных работ были уточнены или заново откартированы многочисленные пликативные и динкитивные структуры, составлены послойные разрезы верхнепермских и нижне-, среднетриасовых отложений, собраны многочисленные остатки фауны, детально изучены интрузивные образования и обнаружены рудопроявления золота, молибдена и полиметаллических руд.

При составлении геологической карты листа Р-54–ХIУ широко использовались аэрофотоснимки масштаба 1:25 000. Степень дешифрируемости снимков хорошая. Это позволило с достаточной полнотой произвести увязку работ разных лет, а также уточнить геологические границы по отношению к ранее составленным картам.

Геологические границы с соседним с севера Р-54–УШ листом, изданным в 1962 г., совпадают, за исключением западной части. Расчленение закартированных в этом месте нижне-, верхнепермских отложений произведено по легенде, утвержденной НРС ВСЕГЕИ в 1969 г. Границы стратиграфических подразделений здесь установлены в результате детальной геологической съемки масштаба 1:25 000.

Фауну и флору определили палеонтологи и палеофитологи: Б.С.Абрамов, Н.Д.Василевская, Ю.Г.Гор, С.В.Домохотов, А.С.Каширцев, О.В.Лобanova, В.А.Молин, И.В.Полуботко, Ю.Н.Попов, Ю.С.Репин, Н.И.Шульгина. Петрографические исследования магматических пород произведены автором записки. При использовании данных других геологов приводятся соответствующие ссылки. Химические анализы изверженных пород были произведены в лаборатории Якутского геологического управления. Определения абсолютного возраста пород выполнены Н.И.Ненажевым в лаборатории ЯФ СО АН СССР.

Поменные ископаемые описаны по состоянию на 01.01.69 г.

СТРАТИГРАФИЯ

В геологическом строении района участвуют главным образом отложения верхоянского комплекса от нижней перми до верхов нижней юры включительно общей мощностью до 9000 м. На небольшой площади в юго–восточной части территории листа развиты вулканогенные образования, имеющие возраст от поздней юры до позднего мела.

ПЕРМСКАЯ СИСТЕМА

Отложения пермской системы обоих отделов занимают свыше половины площади листа. Породы раннепермского возраста обнажаются главным образом в северо–западной части района. Верхнепермские отложения широко распространены по всему району.

Нижний отдел

Джулатгинская свита ($P_1 d_2$) обнажается в северо–западной части территории, в бассейнах ручьев Курум, Большой и Малой Кидерики. Здесь она представлена верхней частью, сложенной монотонными темно–серыми и черными алевролитами, иногда слабо песчанистыми, с прослоями углисто–глинистых сланцев. Во всех разновидностях пород развиты конкреции марказита. В верхах свиты появляются прослои глинистых мелкозернистых песчаников. Кровлей ее является пачка пород мощностью от 60 до 80 м, представленная алевролитами переслаивающимися с мелкозернистыми песчаниками. Мощность обнаженной части свиты достигает 600 м.

В отложениях джулатгинской свиты в районе остатков фауны не обнаружено. В пяти километрах западнее, в русле р.Халлы, в более полном разрезе свиты собраны остатки фауны, которая по определениям Б.С.Абрамова, А.С.Каширцева и Ю.Н.Попова свидетельствует о раннепермском возрасте отложений. Поэтому возраст свиты принят раннепермский.

Верхний – нижний отделы

Дыбинская свита. Нижняя подсвита ($P_{1-2} d\beta_1$) залегает согласно на джулатгинской свите. Отложения ее обнажены в бассейнах ручьев Большой и Малой Кидерики.

Нижняя подсвита сложена темно–серыми и черными алевролитами и глинистыми, иногда углисто–глинистыми сланцами. В верхней ее половине преобладают песчано–глинистые сланцы с полосчатой текстурой.

Мощность нижней подсвиты 650–750 м.

Дыбинская свита. Верхняя подсвита ($P_{1-2} d\beta_2$) распространена преимущественно в северо–западной части территории, в бассейнах ручьев Мостолкан, Гельды, Курум, Большой и Малой Кидерики. Она также обнажена на юго–западе района в бассейне руч.Хонман.

Разрез верхней подсвиты по руч. Илистому изучен Н. В. Голоперовым (I5). Здесь обнажаются (снизу вверх):

1. Глинистые мелкозернистые песчаники, переслаивающиеся песчанистыми алевролитами	86 м
2. Песчанистые алевролиты с редкими прослоями мелкозернистых песчаников	77 "
3. Полимиктовые мелкозернистые песчаники с линзами известковистых разностей и прослоями алевролитов. Остатки фауны <i>Licharewia</i> sp.	56 "
4. Алевролиты с редкими пластами песчаников. Остатки фауны: <i>Kolymia</i> sp., <i>Neospirifer</i> sp.	86 "
5. Алевролиты с прослоями мелкозернистых кварц-полевошпатовых песчаников с включениями глинисто-углистого материала	72 "
6. Плотные темно-серые алевролиты с конкрециями марказита	43 "

Мощность подсвиты 400-450 м.

Отложения дыбинской свиты литологически отличаются от подстилающих пород джуутагинской свиты наличием песчаников. В нижнедыбинской подсвите остатков фауны не найдено. В отложениях верхнедыбинской подсвиты в бассейне руч. Мал. Киперики обнаружены остатки *Productus issauricus* Fred. и *Rhynchopora lobjaensis* Tolm. За пределами территории, в 10-20 км западнее, по рекам Халыя и Дасакия в разрезах дыбинской свиты собраны остатки фауны как ранне-, так и позднепермского возраста. На этом основании отложения дыбинской свиты рассматриваются как включение осадки нижней и верхней перми.

Верхний отдел

Верхнепермские отложения по литологическим особенностям и фаунистическим комплексам разделяются на три свиты: менкеченскую, чамбинскую и имтачанскую.

Менкеченская свита, широко развитая на территории листа, делится на две подсвиты - нижнюю и верхнюю.

Нижняя подсвита ($P_2^{mn_1}$) распространена в бассейне ручьев Кытыл-Тас, Гельды, на левобережье р. Халыя и в других участках района. Разрез этой подсвиты составлен Н. В. Голоперовым (I5) по руч. Илистому. Здесь обнажаются (снизу вверх):

1. Полимиктовые среднезернистые песчаники с прослоями алевролитов (5-10 м) и глинистых песчаников	
---	--

(5-15 м). В нижней части пачки этих пород собраны остатки *Kolymia cf. quadrata* Lutk. et Lob. 260 м

2. Алевролиты, переслаивающиеся с песчано-глинистыми сланцами (20-40 м) и глинистыми песчаниками. В сланцах нередко содержатся конкреции марказита . . . 240 "

3. Полимиктовые разнозернистые песчаники с прослоями глинистых сланцев 150 "

Суммарная мощность 650 м.

В других местах выходов нижняя подсвита менкеченской свиты содержит остатки *Kolymia inoceramiformis* Lich., *Kolymia irregularis* Lich.

Мощность описанной подсвиты к северной границе района увеличивается до 700 м. В этом же направлении происходит увеличение количества глинистых сланцев в ее разрезе.

Верхняя подсвита ($P_2^{mn_2}$) представлена алевролитами с отдельными пластами массивных и глинистых песчаников.

В руч. Стойбищном (левый приток р. Тыры) изучен наиболее полный разрез верхней подсвиты. Здесь обнажаются (снизу вверх):

1. Песчано-глинистые сланцы с редкими прослоями алевролитов 74 м

2. Алевролиты, переслаивающиеся с глинистыми мелкозернистыми песчаниками 45 "

3. Темно-серые полимиктовые песчаники с прослоями песчано-глинистых сланцев 40 "

4. Песчано-глинистые сланцы с прослоями массивных глинистых, иногда известковистых, полимиктовых песчаников 130 "

5. Чередующиеся прослои алевролитов, глинистых сланцев и песчаников. Алевролиты содержат обломки и гальки известняков, эфузивов и гнейсовидных пород размером до 2 см, а также остатки *Beecheria cf. bayku-*
rica Tschernjak, *Dielasma cf. tolmatschowi* Lich., *Al-*
lorisma sp. 30 "

6. Полимиктовые разнозернистые песчаники с прослоями (1-2 см) алевролитов 42 "

7. Алевролиты с прослоями тонкозернистых песчаников. В алевролитах часто встречаются обломки пород, аналогичные таковым в слое 5 98 "

Алевролиты с обломками известняков, эфузивов и гнейсовидных пород, обладают отчетливыми диагностическими признаками и сохраняют характерный облик на больших площадях. Поэтому они имеют маркирующее значение.

Мощность верхней подсвиты 450–500 м.

В отложениях менкеченской свиты в разных местах района найдены остатки *Kolymia irregularis* Lich., *K. cf. quadrata* Lutk. et Lob., *K. inoceramiformis* Lich., *Astarta* sp. (ex. gr. *permocoarbonica* Tschern.), *Antrocoomys* cf. *castor* (Eich.), *Beecheria* cf. *baykurica* Tschern., *Dielasma* cf. *tolmatschowi* Lich., которые, по заключению Б.С. Абрамова и О.В. Лобановой, указывает на позднепермский возраст пород.

На левобережье р. Халы отмечается увеличение количества песчаников в разрезе свиты. В этом же направлении наблюдается и некоторое сокращение ее мощности.

Чамбинская свита (P_2^{cm}) развита преимущественно в западной части описываемой площади и характеризуется преобладанием массивных мелко- и среднезернистых полимиктовых, реже известковистых песчаников (60–70%).

В отложениях свиты встречаются обломки древесных стволов, растительные остатки в песчаниках, подковообразные следы ползания червей, антраколитовые конкреции, волногрибайные знаки, линзы и прослои конгломератов. Следовательно, формирование свиты происходило в прибрежно-морских условиях. На руч. Стойбищном в разрезе свиты обнажаются (снизу вверх):

1. Мелкозернистые песчаники с прослойками алевролитов и линзами конгломератов. В верхней части в алевролитах собраны остатки фауны *Nucula* sp. 55 м

2. Массивные мелкозернистые песчаники с прослойками тонкослоистых известковистых песчаников. В верхней части песчаников установлены прослои (0,8 м) алевролитов с остатками фауны *Streblichondria* cf. *engelhardtii* (Ethridelt Dan.), *Sanguinolites* cf. *bicarinatus* Keys. . . 82 "

3. Алевролиты, переслаивающиеся с тонкозернистыми, иногда известковистыми песчаниками с отпечатками *Allorisma* cf. *komiensis* (Masl.), *Nuculana speluncaria* (Gein.), *Kolymia* sp. II2 "

4. Песчаники с прослойками глинистых сланцев. В подошве песчаников установлен пласт конгломератов (0,7 м) с обломками раковин *Allorisma* sp. ind. 50 "

5. Алевролиты с прослойками мелкозернистых песчаников с остатками *Kolymia* sp., *Kolymia irregularis* Lich. 56 "

6. Массивные и тонкослоистые песчаники с прослойками алевролитов (до 6 м) и глинистых сланцев (1–2 м) с остатками *Steblopteria* ex gr. *rotunda* (Lutk. et Lob.) I80 "

7. Массивные мелкозернистые песчаники с остатками *Allorisma* ex gr. *komiensis* Masl., *Nuculana* ex gr. *flexuola* (Lutk. et Lob.) 25 м

8. Параллельнослоистые песчаники с прослойками алевролитов и глинистых сланцев с остатками *Steblopteria* ex gr. *rotunda* (Lutk. et Lob.), *Nuculana* cf. *kasanensis* (Vern.) 58 "

9. Мелко-, среднезернистые массивные и параллельнослоистые песчаники с прослойками алевролитов и с остатками *Kolymia* cf. *inoceramiformis* Lich., *K. ex gr. irregularis* Lich. 147 "

Мощность свиты 700–800 м.

Свита охарактеризована фауной, среди которой резко преобладают пелециподы (свыше 90%), брахиоподы в ней довольно редки. Кроме приведенных выше форм в других местах собраны *Cancrinelloides* cf. *obrutschewi* (Lich.), *Cancrinella?* cf. *baykurica* Ustr., *Strophalosia* cf. *sibirica* Lich., *Rhynchopora* sp. Пелециподы, найденные в свите, по заключению О.В. Лобановой, определяют ее позднепермский возраст, а брахиоподы, по Б.С. Абрамову, характерны для казанского яруса.

Имтачанская свита (P_2^{cm}) обнажена преимущественно в центральной части района. По литологическим особенностям она отчетливо разделяется на две части. Нижняя часть сложена преимущественно полимиктовыми песчаниками с прослойями глинистых сланцев, алевролитов и конгломератов. Глинистые сланцы часто содержат многочисленные растительные остатки. Верхняя часть свиты представлена мелко- и среднезернистыми полимиктовыми песчаниками, чередующимися с глинистыми и песчано-глинистыми сланцами. Песчаники часто известковистые с обломками призматического слоя раковин пелеципод. При ударе молотком издают резкий запах сероводорода.

На руч. Стойбищном изучен разрез имтачанской свиты. Здесь наблюдается такая последовательность пород (снизу вверх):

1. Мелкозернистые песчаники, переслаивающиеся с алевролитами и глинистыми сланцами 45 м

2. Слоистые и массивные песчаники, чередующиеся с линзовидными прослоями гравелитов и конгломератов с кварцевой галькой I24 "

3. Песчаники иногда известковистые с редкими прослойками алевролитов и остатками *Kolymia* sp. I31 "

4. Песчаники ритмично переслаивающиеся с алевролитами 100 "

5. Мелкозернистые песчаники с линзами известковистых песчаников и остатками <i>Nucula ex gr. wymensis</i>	53 м
Keye.	
6. Алевролиты с прослойями тонкозернистых песчаников с антроколитовыми конкрециями	41 "
7. Средне-, мелкозернистые песчаники с прослойями алевролитов и глинистых сланцев	45 "

Мощность свиты 550–650 м.

В нижней части свиты из многочисленных остатков флоры, собранных в северной части территории листа, Ю.Г. Гор определил следующие виды: *Noeggerathiopsis ex gr. aequalis* (Goepp.) Zal., *N. cf. kuznetskiana* Gorel., *N. cf. candelepensis* Zal., *N. cf. N. cf. insignis* Radcz., *N. aff. brevifolia* Gomedicris Gorel., *N. cf. concinna* Radcz., *Grassinervia cf. minima* Such., *Angarotel.*, *A. tuchensis* (Zal.) Radcz., *Samaropsis carpus elongatus* Such., *A. tuchensis* (Zal.) Radcz., *Phyllooteca* sp., *Koretraphyllites* sp., *Paracalamites* sp., *Cornia vosini* Molin, которые указывают на позднепермский возраст отложений.

Верхняя часть имтачанской свиты характеризована целенами позднепермского возраста: *Kolymia inoceramiformis* Lich., подами позднепермского возраста: *Kolymia inoceramiformis* Lich., *K. ex gr. irregularis* Lich., *K. ex gr. quadrata* Lutk. et Lob. in *gr. pterinaeformis* Lich., *K. ex gr. magnifica* Popow., *Litl.*, *Allorisma* sp. indet., *Nuculana (Polidevcia) magna* Popow., *N. casanensis* (Vern.), *N. sp. ind.*, *Myonia cf. carinata* (Morris) Dan., *Streblochondria* sp., *Aviculopecten* sp. ind. (определения О.В. Лобановой и Ю.Н. Попова), и единичными находками *Pseudorthoceras* sp. (определ. Ю.Н. Попова).

По заключению С.В. Домохотова (4) имтачанская свита по возрасту отвечает татарскому ярусу.

Мощность имтачанской свиты уменьшается с севера на юг от 650 до 550 м. В том же направлении увеличивается количество песчаников, гравелитов и конгломератов среди отложений свиты.

ТРИАСОВАЯ СИСТЕМА

Отложения триасовой системы занимают около 25–30% площади района. Они согласно залегают на верхнепермских отложениях. По палеонтологическим находкам среди них выделяются отложения нижнего, среднего и верхнего отделов.

Нижний отдел

Нижнетриасовые отложения по остаткам фауны и литологическим особенностям расчленены на некучанскую, харчансскую и сетогорскую свиты.

Некучанская свита ($T_1 n/k$). Отложения некучанской свиты обнажены во многих участках площасти листа. Они представлены зеленоватыми косослоистыми кварц-полевошпатовыми песчаниками с прослойями пестроцветных алевролитов. В нижней части свиты находится маркирующий горизонт черных глинистых сланцев с прослойями алевролитов и песчаников.

Наиболее полный разрез отложений некучанской свиты изучен на руч. Безнадежном. Здесь обнаруживаются (снизу вверх):

1. Глинистые сланцы с прослойями темных, зеленоватых алевролитов и песчаников. Остатки фауны *Wetlugites pronus* Novojilov, *Pseudestheria tumariana* Novojilov,

Cornia vosini Molin 45 м

2. Мелко- и среднезернистые песчаники с прослойями зеленоватых алевролитов, содержащих остатки *Lingula acuta* Popow 57 "

3. Зеленоватые мелкозернистые песчаники, переслаивающиеся с зеленоватыми, малиновыми, вишневыми алевролитами 100 "

4. Косослоистые песчаники с редкими прослойями алевролитов и линзами известковистых песчаников 50 "

5. Разнозернистые косослоистые песчаники с прослойями зеленых и малиновых алевролитов с остатками филлокод: *Sphaerestheria aldanensis* Novojilov, *Pseudestheria sibirica* Novojilov, *P. kashirzevi* Novojilov, *P. vjatkensis* Novojilov .

6. Косослоистые, мелко- и среднезернистые песчаники 58 "

7. Разнозернистые песчаники, переслаивающиеся с темно-серыми и зеленоватыми алевролитами 110 "

8. Разнозернистые песчаники с редкими прослойями темно-серых и зеленоватых алевролитов и черных глинистых сланцев, содержащих остатки филлокод *Pseudestheria sibirica* Nov., *P. pliciferina* Novojilov, *P. vjatkensis* Novojilov, *P. timaryana* Novojilov 157 "

Мощность некучанской свиты 500–700 м.

В отложениях, соответствующих первому слову приведенного разреза, найдены *Nucula goldfussi* (Alv.), *Bellerophon asiaticus* Wirth., *Otoceras boreale* Speth., *Otoceras indigirens* Popow, *Glyptophiceras cf. pascoei* Spath., *Metaceras cf. subaratum* (Keyss.). По заключению Ю.Н.Попова, эта фауна является руководящей для биозоны *Otoceras* индского яруса.

Верхняя часть отложений свиты в разных местах площади листа охарактеризована фауной фильтропод *Lioestheria aequale* Lutk. (определ. В.А.Молина): и редкими находками брахиопод: *Lingula borealis* Bittn., *L. acuta* Pop. (определ. Ю.Н.Попова), которые свидетельствуют о принадлежности отложений к индскому ярусу.

В районе происходит уменьшение мощности некучанской свиты с севера на юг. Кроме того, количество пестроокрашенных алевролитов резко уменьшается в восточной части территории.

Харчанская и сеторымская свиты (T_1^{h+st}). Отложения этих свит распространены по всей территории на крыльях синклинальных структур.

Харчанская свита в обнажениях по руч. Безнадежному сложена глинистыми сланцами, чередующимися с алевролитами и тонкими прослойями песчаников. В средней ее части встречаются многочисленные карбонатные конкреции с текстурой "конус в конус". В сланцах содержатся фильтроподы *Pseudestheria tumaryana* Novojilov., *P. pliciferina* Novojilov. Ввиду малой мощности харчанской свиты (от 30 до 60 м) на геологической карте она объединена с вышележащей сеторымской свитой.

Сеторымская свита согласно перекрывает харчанскую. Разрез ее изучен по руч. Безнадежному. Здесь обнажаются следующие породы (снизу вверх):

1. Неравномернозернистые косослоистые песчаники с прослойями алевролитов	58 м
2. Тонкозернистые косослоистые песчаники с прослойями глинистых сланцев и алевролитов	62 "
3. Мелко- и грубозернистые песчаники с конкрециями марказита. Редкие прослои алевролитов	62 "
4. Алевролиты и глинистые сланцы, переслаивающиеся с песчаниками	67 "
5. Песчаники от мелкозернистых разностей до гравелитов с линзами известковистых песчаников и с редкими прослойями глинистых сланцев. В кровле прослои мелкогалечных конгломератов	90 "
Мощность сеторымской свиты	220-340 м.

Общая мощность харчанской и сеторымской свит 250-400 м.

В отложениях харчанской и сеторымской свит в разных местах района обнаружены фильтроподы: *Echinestheria etchiensis* Molin, *Lioestheria* sp. nov., *Pseudestheria sibirica* Novojilov, *Lioestheria* sp. nov., *Lioestheria gutta* Lutk. и единичные брахиоподы *Lingula borealis* Bittn., которые, по заключению В.А.Молина и Ю.Н.Попова, свидетельствуют о принадлежности этих свит к оленекскому ярусу.

В районе происходит уменьшение мощности харчанской свиты, представленной нижним сланцевым горизонтом, от 60 м в северной части территории до 30 м на юге.

Средний отдел

Отложения среднего триаса, выделенные в малтанскую свиту, установлены во многих участках района, где они обнаруживаются в крыльях синклинальных структур.

Малтанская свита (T_2^{ml}). Породы этой свиты залегают согласно на отложениях нижнего триаса. Нижняя половина ее сложена серыми, зеленоватыми, иногда светлыми среднезернистыми песчаниками с отдельными прослойями сланцев и мелкозернистых темно-серых песчаников. Песчано-глинистые сланцы часто содержат фрагментарные обуглившиеся неопределенные растительные остатки. Иногда в песчаниках наблюдаются конкреции марказита. Верхняя часть отложений свиты представлена грубозернистыми песчаниками с прослойями и линзами гравелитов и конгломератов (до 2-2,5 м), с гальками до 10-15 см в диаметре. В составе галек преобладает кварц, встречаются кварциты и грани.

Возраст свиты определяется ее стратиграфическим положением между отложениями нижнего и верхнего триаса. Севернее описываемого района, в бассейне р. Сеторым нижняя часть малтанской свиты содержит фильтроподы азиатского яруса: *Lioestheria anabarensis* Novojilov, *Lioestheria argutta* Novojilov.

Мощность свиты 500-700 м.

Верхний отдел

Породы позднетриасового возраста развиты преимущественно в южной части района, где они слагают мульды синклинальных складок. По литологическим особенностям отложения верхнего триаса

делятся на три части. Эта особенность хорошо выражена и в разрезе, изученном Г.П.Павловым (30), по руч.Хербак, где наблюдаются (снизу вверх):

1. Алевролиты и глинистые сланцы с прослойками мелкозернистых песчаников с остатками <i>Trigonodus cf. serianus</i> Par., <i>Cardinia ovula</i> Kittl	120 м
2. Массивные мелко- и среднезернистые песчаники с пластами конгломератов и прослойками глинистых и песчано-глинистых сланцев	360 "
3. Плитчатые разнозернистые песчаники, переслаивающиеся с черными глинистыми сланцами и алевролитами	140 "

Мощность отложений верхнего триаса 500–600 м.

В бассейнах ручьев Долгучан, Моут и Хербак нижняя пачка охарактеризована остатками *Halobia superba* Mojs., *Oxytoma zitteli* (Teller), *Tosapecten subhiemalis* (Kipar.), *T. suzukii* (Kab.), *Cardinia ovula* Kittl., *C. subtrigonia* Kipar., *C. czeckanowskii* Teller, *C. borealis* Kipar., *C. subcircularis* Kipar., *Palaeoneilo lunaris* Bohm., *Halcorhynchia borealis* Dagus, *Piarorhynchia formalis* Dagus, *Kolymithyris* sp. nov., *Rhynchonella woilossowitschi* Dien. (опред. Ю.Н.Попова), свидетельствующими о карнийском возрасте отложений. В верхней пачке приведенного разреза имеются редкие *Monotis daonellaeformis* Kipar. и *Gryphaea sculps* Bohm., по Ю.Н.Попову, указывающие на верхнюю часть карнийского или нижнюю часть норийского ярусов.

В южном направлении количество алевролитов и глинистых сланцев уменьшается в разрезе отложений верхнего триаса. В этом же направлении происходит и уменьшение мощности отложений.

ЮРСКАЯ СИСТЕМА

Отложения юрской системы распространены в бассейнах ручьев Моут, Хербак и Астрочан и представлены терригенными породами лейасового возраста. Возможно, к поздней юре относятся вулканогенные образования авлиинской свиты.

Нижний отдел

Нижненорские отложения разделены на три части, соответствующие геттанскому и синеморскому, плинсбахскому и домерскому и тоарскому ярусам.

Геттанский и синеморский ярусы (*J₁h+s*)

Отложения этих ярусов согласно перекрывают породы верхнего триаса. Они представлены преимущественно алевролитами и песчаниками, причем в нижней и верхней частях преобладают кварц-полевошпатовые песчаники, а в средней – алевролиты. Наиболее интересный разрез этих отложений изучен Г.П.Павловым (30) по руч.Хогончан. Здесь наблюдаются (снизу вверх):

1. Мелкозернистые песчаники с прослойками песчано-глинистых сланцев и алевролитов с остатками <i>Myophoria</i> sp. ind., <i>Pelecyopoda</i> gen. ind.	112 м
2. Мелкозернистые массивные песчаники	192 "
3. Песчано-глинистые сланцы с алевролитами, плитчатыми сланцами и прослойками мелкозернистых песчаников. В сланцах содержатся остатки: <i>Otapiria</i> cf. <i>limaeformis</i> Tuch., <i>Monotis originalis</i> Kipar., <i>Myophoria</i> sp. ind.	286 "
4. Серые, темно-серые, мелкозернистые песчаники, иногда переходящие в алевролиты с остатками <i>Otapiria</i> cf. <i>limaeformis</i> Tuch., <i>Cardinia aff. regularis</i> Ferg., <i>Monotis cf. originalis</i> Kipar., <i>Myophoria</i> sp. (aff. <i>laevigata</i> Zeit.), <i>Pleuromia</i> sp. ind., <i>Cri-</i> <i>poidea</i>	159 "

Мощность геттанского и синеморского ярусов 750–900 м.

Отложения в бассейнах ручьев Моут и Хербак содержат раковины *Mytilus* cf. *lamellosus* Ferg., *Otapiria* (*Anaucella*) *usuriensis* Vor., *Homospira* cf. *liaisinus* Qu., *Dentalium* (?) sp. ind., которые по заключению Н.И.Шульгиной, указывают на раннелейасовый возраст пород.

Плинсбахский и домерский ярусы (*J₁p+d*)

Отложения этих ярусов развиты в бассейнах ручьев Моут, Хогончан и Астрочан. Здесь они разделяются на три части, при этом в нижней и верхней преобладают песчано-глинистые сланцы, а в средней – кварц-полевошпатовые, реже полимиктовые песчаники.

Г.П.Павловым в разрезе по руч.Хогончан описаны следующие породы (снизу вверх):

1. Алевролиты и глинистые сланцы с антраколитовыми конкрециями. Редкие прослои мелкозернистых песчаников
--

ников с редкими остатками <i>Pecten</i> sp. ind., <i>Rhynchonella</i> sp. ind.	I35 м
2. Тонко-, мелкозернистые массивные, иногда кокослоистые песчаники с прослойками алевролитов и глинистых сланцев, содержащих остатки <i>Harpax spinosus</i> Sow., <i>Pecten</i> sp., <i>Rhynchonella</i> sp., <i>Crinoidea</i> . . .	I75 "
3. Алевролиты и глинистые сланцы, нередко песчанистые с остатками <i>Harpax spinosus</i> Sow., <i>Rhynchonella</i> cf. <i>variabilis</i> Dav., <i>Pecten textorius</i> Sholth.	I20 "
Мощность отложений 400-550 м.	

Кроме того, в бассейне руч. Астрочан собраны остатки *Harpax* (?) *occrucoetus* Desl., *Myophoria laevigata* var. *anabarensis* Voron., *Harpax* cf. *lacridatus* Orb., *H. cf.*, *tergueni* Desl., *H. cf.* *laevigata*, *Tancredia* aff. *schiruaevi* Bodyl., *Radirhynchia* cf. *najahensis* Moiss., *Radulonectites* aff. *hayman* Polub., *Velata* cf. *viligaensis* Tuch., *Lima* cf. *philatovi* Polub., по определению Н.И.Шульгиной, Ю.С.Репина и И.В.Полуботко, свидетельствующие о среднелейасовом возрасте отложений.

Тоарский ярус (*J₁t*)

Отложения тоарского яруса установлены в бассейнах ручьев Астрочан и Хербек, где они залегают согласно на подстилающих горючах. Нижняя часть их состоит из алевролитов. В средней части преобладают темно-серые, тонкослоистые мелкозернистые полимиктовые песчаники с редкими прослойками алевролитов, в которых иногда встречаются карбонатные конкреции с текстурой "конус в конус". Над песчаниками располагается пачка темных алевролитов с редкими прослойками глинистых песчаников. Заканчиваются отложения тоарского яруса пачкой массивных мелко- и среднезернистых полимиктовых песчаников.

Мощность тоарского яруса 500-650 м.

Остатки фауны *Eumorphotis* cf. *marchaeensis* Petr., *Pseudomonotis* cf. *tabagensis* Petr., *Pseudomonotis triungensis* Petr., *Septaliphoria* sp. indet., *Tancredia* sp. ind., *Phacoides* sp. ind., *Belemnites* gen. ind., *Pentacrinus* sp. indet., собранные в бассейнах руч. Астрочан и Хербек, по заключению Н.И.Шульгиной, указывают на тоарский возраст вмещающих отложений.

Обнаруженная в верхней части описанных отложений *Oxytoma ex gr. jacksoni*, по заключению Н.И.Шульгиной, указывает на тоар-ааленский возраст пород. Находки пелепинпод *Arctotis ex*

gr. *lenaensis* (Lah.) и *A. cf. lahausenii* Erch. В этой части разреза, по заключению И.В.Полуботко и Ю.С.Репина, свидетельствуют о возможном ааленском возрасте вмещающих остатки фауны отложений.

Таким образом, возможно, что верхняя часть описанных отложений при более детальных исследованиях будет отнесена к среднекирскому возрасту.

ЮРСКАЯ СИСТЕМА, ВЕРХНИЙ ОТДЕЛ - МЕЛОВАЯ СИСТЕМА, НИЖНИЙ ОТДЕЛ

А в лиин с кая с в и т а (*J₃-Gr₁a-v*). Образования свиты известны только в бассейне руч. Астрочан. Здесь они залегают на разных горизонтах верхоянского комплекса с четким угловым несогласием, достигающим 25-30°. Авлиинская свита сложена вулканогенными породами андезитового состава. Пирокластические и вулканогенно-осадочные породы составляют около 70% от всего объема свиты. Остальная часть разреза слагается покровами андезитов. Последние обычно расположены в верхней части разреза. В кровле свиты иногда встречаются покровы андезито-дацитов. Породы, слагающие свиту, не выдержаны и сменяют друг друга по простиранию.

Пирокластические образования авлиинской свиты - туфоагломераты, туфы, туффиты, туфопесчаники имеют темный цвет и атакситовую текстуру. Среди них преобладают мелкообломочные разности. Обломки плагиоклаза, кислых и средних эфузивов и кварца сцементированы пепловым материалом.

Андезиты имеют темный цвет и порфировую структуру. Количество вкрашеннников составляет до 30% от всей массы породы. Преобладают порфировые выделения андезина-лабрадора (# 45-60). Реже встречаются псевдоморфозы хлорита и актинолита по вкрашеннникам роговой обманки и пироксена. Основная масса имеет гиалопилитовую структуру и иногда флюидальную текстуру. Она или пилотакситовую структуру и иногда флюидальную текстуру. Она сложена микролитами плагиоклаза и стеклом.

Мощность свиты достигает 150 м.

По своему стратиграфическому положению и вещественному составу описанные вулканогенные образования сопоставляются с разрезом авлиинской свиты, составленном в 30 км восточнее территории, в верховых р. Юдома. Позднеюрский - раннемеловой возраст их в этом месте был установлен по находкам флоры, определенной Н.Д.Васильевской.

В породах авлиинской свиты в районе палеонтологических остатков не найдено, поэтому возраст ее считается условным.

МЕЛОВАЯ СИСТЕМА

Образования меловой системы известны в бассейнах ручьев Муэт, Эмкырчан, Астрочан и Хогончан, где они занимают площадь около 40 км². Среди них выделены эфузивы ранне- и позднемелового возраста. Раннемеловые вулканогены образуют дюстачансскую свиту, сложенную лишарито-дацитами и лишаритами. Позднемеловые эфузивы в объеме нитканской свиты имеют лишаритовый состав. В этих свитах, наряду с собственно излившимися породами, присутствуют и пирокластические разности аналогичного состава.

Нижний отдел

Дюстачанская свита ($\text{Сг}_1 d_s$). Породы свиты занимают около 80% от всей площади вулканогенных образований мелового возраста. Они залегают на разных горизонтах терригенных отложений верхоянского комплекса и иногда подстилаются породами авлиинской свиты. Эфузивные и пирокластические образования дюстачанской свиты имеют невыдержанную мощность и нередко сменяют друг друга по простиранию.

В нижней части свиты расположена пачка светлых зеленовато-серых лишарито-дацитов с небольшим количеством их туфов. В основании ее иногда залегают прослои и линзы агломератов с обломками андезитов и андезито-дацитов. Мощность этой пачки от 70 до 300 м. В средней части дюстачанской свиты развиты серые мелко-, и крупнообломочные туфы лишаритов с прослойками туфогенно-осадочных пород, в которых встречаются редкие отпечатки раковин очень плохой сохранности. Мощность средней пачки достигает 250 м. Верхняя часть свиты сложена зеленовато-серыми лишаритами мощностью 900 м.

Лишарито-дациты – плотные зеленовато-серые породы с порфировой структурой. Вкрашенники андезина (# 35–40), ортоклаза и кварца составляют от 30 до 50% объема породы. Иногда встречаются псевдоморфозы хлорита и минералов группы эпидота – цоизита по вкрашенникам роговой обманки. Основная масса сложена микролитами олигоклаза до 0,2 мм, кварца и стеклом.

Туфы имеют серый с зеленоватым оттенком цвет, атакситовую текстуру. Они сложены обломками кварца, полевых шпатов, кислых

эфузивов, алевроликов и песчаников. Обломки скементированы цепловым материалом.

Лишариты – плотные породы зеленовато-серого цвета с порфировой структурой. Количество вкрашенников достигает 35%. Среди них преобладают фенокристаллы кварца, которые составляют от 50 до 90% общего количества вкрашенников. Реже наблюдаются порфировые выделения олигоклаза (# 25–27) и анортоклаза. Полевые шпаты обычно слабо сертифицированы. Основная масса породы сложена кварцем и полевыми шпатами. Она имеет аллотриоморфозернистую структуру. В основной массе присутствуют циркон, ортит, иногда сфеен.

Мощность свиты достигает 1200 м.

Возраст ее условно считается верхнемеловым на том основании, что вулканогенные образования дюстачанской свиты подстилаются породами верхнеюрской – нижнемеловой авлиинской свитой и перекрыты образованиями верхнемеловой нитканской свиты.

Верхний отдел

Нитанская свита ($\text{Сг}_2 n_t$). Образования свиты залегают на породах дюстачанской свиты с угловым несогласием достигающим 25°. В основании свиты лежат агломераты с обломками кислых эфузивов, туфов и туфопесчаников. Мощность их достигает 20 м. Остальная часть разреза сложена белыми, зелеными, желтыми, сиреневыми и бурими туфами и лавами лишаритов. Помимо лишаритов, составляющие до 20% всего разреза, тяготят к верхней его части.

Макроскопически лишариты – плотные зеленоватые или желтоватые, светлые породы с порфировой структурой. Количество вкрашенников достигает 20%. Преобладают фенокристаллы кварца и щелочного полевого шата. Нередко встречаются сферолиты (5–15 мм), которые имеют радиально-лучистое или концентрически зональное строение. Они сложены мелкозернистым агрегатом кварца и полевых шпатов. В наиболее крупных сферолитах отмечаются мелкие зерна флюорита.

Мощность обнаженной части свиты 250 м.

Нитанская свита, благодаря пестрому облику, хорошо сопоставляется с близкими породами, обнажающимися в верховых р. Юломы, в 30 км восточнее границ района. В этом месте в них собраны остатки флоры, которые по заключению Н.Д. Василевской, указывают на позднемеловой возраст пород. Так как остатков

флоры в породах нитканской свиты в районе не найдено, возраст ее условно считается позднемеловым.

ЧЕТВЕРТИЧНАЯ СИСТЕМА

Четвертичные отложения в районе развиты в долинах наиболее крупных рек. К ним относятся верхнечетвертичные и современные отложения.

Верхнечетвертичные отложения (Q_{III}^4)

К ним относятся ледниковые и водно-ледниковые отложения, распространенные в долинах основных рек и на пологом водоразделе междуречья Халыя и Долгучан, в западной части района.

Ледниковые отложения представлены плохо отсортированными валунами, глыбами, галькой, дресвой, перемешанными с песком и глиной. Они слагают моренные холмы высотой 20–30 м в долинах рек Тыры, Халыя, Долгучан.

В низовьях долины руч. Курум проводилась разведка на россыпное золото. Здесь было пройдено несколько шурфовых линий. Разрезы ледниковых отложений, установленные шурфами, почти не отличаются друг от друга.

Здесь вскрыты (снизу вверх):

- | | |
|---|--------|
| 1. Мелкая щебенка с дресвой и крупнозернистым
песком | 0,6 м |
| 2. Глыбы (10–20%), щебенка различных пород,
крупнозернистый песок, темно-серая глина и линзы
льда | 24,0 " |

В долине р. Тыры мощность ледниковых отложений достигает 50–60 м. Здесь она была установлена методом ВЭЗ и микросейсмическими исследованиями.

Современные отложения (Q_{IV})

К современным отложениям относятся аллювиальные и элювиально-делювиальные образования. Аллювиальные отложения повсеместно распространены в пойменных частях долин современных водотоков. В аллювии преобладает валунно-галечниковый материал с прослойками и линзами песков и суглинков. Валун и галька сложены породами, обнажающимися в районе. Обычно это песчаники, алевролиты, гранитоиды и вулканогенные породы. Мощность аллювиальных

отложений в русле р. Тыры, установленная методом ВЭЗ, достигает 50–60 м. В скважине, пробуренной вблизи устья руч. Курум, она равна 96 м. По всему разрезу в скважине аллювий сложен плохо отсортированным валунно-галечниковым материалом с песком. На глубине 75 м отмечается полуметровый пласт крупнозернистого песка. В долинах средних водотоков мощность аллювия достигает 8–10 м, мелких 1–3 м.

Элювиально-делювиальные отложения развиты на склонах и стяженных водоразделах. Они сложены щебенкой обнажающейся здесь пород с примесью песка и супеси. Мощность элювия не превышает 1–2 м, мощность делювиальных отложений к подножью склонов иногда увеличивается до 10–15 м.

ИНТРУЗИВНЫЕ ОБРАЗОВАНИЯ

Интрузивные образования достаточно широко распространены в районе. Формирование их происходило от поздней юры до палеогена. Интрузивная деятельность вероятно началась в позднеюрское – раннемеловое время внедрением дайки андезитов. Максимальное развитие интрузий падает на раннемеловую эпоху. В это время были образованы субвуликанические тела дацитов и порфировидных кварцевых монцонитов, тела диоритов и порфировидных кварцевых монцитов, тела диоритов и кварцевых диоритов, массивы гранодиоритов и дайки лампрофиров, кварцевых диоритов и диоритовых порфиров. В позднемеловое время были сформированы дайки и тела кварцевых порфиров, а также массивы аляскитовых гранитов. Интрузивная деятельность в районе заканчивается внедрением даек диоритов в палеогеновое время.

ПОЗДНЕЮРСКИЕ-РАННЕМЕЛОВЫЕ ИНТРУЗИИ (αJ_3 - Cr_1)

К этому возрасту отнесена дайка андезитов, обнажающаяся в бассейне руч. Лагерного. Она протягивается на расстояние выше 2 км и имеет широтное простирание. Мощность ее 30–50 м. Андезиты – темно-серые плотные породы с порфировой структурой. Вкрашенники андезита (% 41–45), роговой обманки и пироксена составляют около 25%. Основная масса имеет гиалопилитовую структуру и сложена микролитами плагиоклаза и стеклом.

Андезиты по своим петрохимическим особенностям ^{x/} являются

^{x/} Петрохимические особенности интрузивных пород района здесь и далее приводятся в сравнении с петрохимической классификацией изверженных пород А.Н. Заварыцкого.

Джотисканского лакколита. Геологические данные, которые были рассмотрены выше, указывают на обратное их взаимоотношение. В связи с этим определения абсолютного возраста принимаются во внимание лишь в тех случаях, когда они совпадают с результатами геологических наблюдений.

Таким образом, среди раннемеловых интрузивных пород, лишь с частичным использованием данных абсолютного возраста, может быть намечена такая последовательность их образования: 1 - дайки намечена такая последовательность их образования: 1 - дайки; 2 - порфировидные кварцевые монцониты и кварцевые монцониты; 3 - лампрофиры; 4 - диориты и кварцевые диориты; 5 - диоритовые порфириты; 6 - гранодиориты; 7 - аплиты и пегматиты.

Дациты (L_{Cr_1}) слагают три субвулканических тела в бассейне руч. Лагерного. Одно из них обнажается непосредственно в русле этого ручья и представляет собой пластовую залежь мощностью до 30 м. Два других тела являются секущими. Они имеют линзообразную форму и протягиваются на расстояние около 3 км. В краевых частях дацитовых тел наблюдаются угловатые обломки вмещающих осадочных пород. Дациты - темно-серые плотные породы с порфировой структурой. Количество вкраепленников достигает в них 20%. Среди порфировых выделений резко преобладают илиоморфные кристаллы андезина. Единичные вкраепленники образуют сильно целиканизированный калиевый полевой шпат и кварц. Основная масса породы фельзитовая, иногда с небольшими участками микропегматита.

Дациты по петрохимической характеристике относятся к нормальному ряду пород (см.табл.2). Они слабо пересыщены кремнекислотой ($Q = 16,8$) и бедны щелочами ($\frac{a}{c} = 2,6$). Для них характерно незначительное преобладание натрия над калием.

Порфировидные кварцевые монцонит-порфириты (vE_{Cr_1}) слагают Джотисканский лакколит, дайки, интрузивные залежи и небольшие тела неправильной формы. Джотисканский лакколит, в настоящее время расчлененный эрозией на четыре части, находится на правобережье р.Халыи. Он занимал площадь более 40 km^2 и имел максимальную мощность свыше 450 м, судя по наблюдаемым вертикальным отметкам его подошвы и сохранившейся наиболее высокой части. Лакколит сложен в основном порфировидными кварцевыми монцонитами. В зоне эндоконтакта мощностью от 1 до 6 м эти породы постепенно переходят в кварцевые монцонит-порфириты. Дайки, интрузивные залежи и неправильной формы небольшие тела обнажающиеся в бассейне р.Халыи сложены преимущественно кварцевыми монцонит-порфиритами. Только

в центральной части наиболее крупного тела, в бассейне руч. Светлого, кварцевые монцонит-порфириты переходят в порфировидные кварцевые монцониты. Мощность их тел изменяется от 5 до 25 м, а протяженность от десятков метров до 5 км.

Порфировидные кварцевые монцониты - светло-серые, средне-зернистые породы с порфировидной структурой. Порфировидная структура в них в основном обусловлена наличием крупных, до 3 см зерен плагиоклаза, количество которых достигает 10%. Порфировидные кварцевые монцониты состоят (в %) из (среднее из 15 подсчетов) плагиоклаза - 44,1; щелочного полевого шпата - 23,7; кварца - 19,7; биотита и роговой обманки - 12,2 и акцессорных минералов - 0,3. В шлифах они обладают гипидиоморфозернистой и реже монцонитовой структурами.

Плагиоклаз в породах образует полисинтетические двойниковые кристаллы вытянутой или изометрической формы, по составу отвечающие андезину ($\# 36-39$). Большая часть кристаллов плагиоклаза имеет размеры 3-5 мм. Самые крупные из них часто имеют зональное строение. Ортоклаз образует ксеноморфные выделения величиной до 0,6 мм. В единичных случаях встречаются крупные зерна, достигающие 5 мм. Ортоклаз часто имеет перититовое строение. Иногда он слабо целиканизирован. Кварц наблюдается в виде зерен неправильной формы с размерами от 1 до 5 мм. Роговая обманка вместе с биотитом часто образуют скопление зерен величиной до 5 мм. Эти минералы нередко хлоритизированы. Они часто включают акцессорные минералы, из которых наиболее распространенным является апатит. Реже встречаются циркон, ортит, сфен и монацит.

Кварцевые монцонит-порфириты отличаются от порфировидных кварцевых монцонитов наличием мелкозернистой основной массы и отчетливой порфировой структурой. В основной массе степень идиоморфизма андезина по отношению к ортоклазу уменьшается. Поэтому наряду с монцонитовой и гипидиоморфозернистой структурами в ней появляются элементы аллотриоморфозернистой структуры.

По петрохимической классификации А.Н.Заваринского порфировидные кварцевые монцониты и кварцевые монцонит-порфириты принадлежат к ряду пород пересыщенных алюминием и кремнекислотой ($Q = 17,7-18,6$) и бедных щелочами ($\frac{a}{c} = 3,7-4,97$) при отчетливом преобладании среди них натрия над калием (см.табл.2).

Дациты, кварцевые монцонит-порфириты и порфировидные кварцевые монцониты по результатам 57 анализов содержат повышенное,

по сравнению с клярковым, количество титана и фосфора ^{X/}.

Лампрофирсы (XCr_1) слагают дайки, обнажающиеся в бассейне р. Тыры. Среди них выделяются спессартиты и керсантиты. Несколько даек спессартитов установлено в рудном поле Неждининского золоторудного месторождения. Дайки спессартитов обычно имеют северо-восточное простирание. Мощность их изменяется от 0,5 до 12 м. Керсантиты образуют вертикальные дайки северо-западного простирания мощностью от 1 до 5 м.

Спессартиты — темно-серые с зеленоватым оттенком мелкозернистые породы. Они сложены преимущественно андезином — 50–60% и роговой обманкой 30–35%, в редких случаях наблюдаются пироксен, биотит и кварц. Структура породы лампрофировая. Андезин образует призматические или таблитчатые зерна величиной 0,5–0,8 мм. Обычно он интенсивно серпентизирован и иногда содержит включения тонких призм апатита и точечные зерна рудных минералов. Роговая обманка наблюдается в виде мелких игольчатых кристаллов. На их фоне четко выделяются вкраепленники ее, образованные крупными, до 3 мм, идиоморфными зернами призматической формы. Аксессорные минералы — сфеин, ортит, апатит, рутил.

Керсантит — темно-серая с коричневым оттенком мелкозернистая порода. Она состоит (в %): из плагиоклаза — 45–50, биотита — 30–40, кварца — 5–10 и акцессорных минералов — 2–4. В редких случаях встречаются реликты зерен роговой обманки и моноклинного пироксена. Таблитчатые зерна андезина-лабрадора ($\# 46\text{--}52$) длиной 0,1–0,3 мм интенсивно замещаются серпентитом, хлоритом и карбонатом. Биотит наблюдается в виде обильных пластинок длиной до 0,5 мм. Часто он образует крупные идиоморфные кристаллы до 2,5 м, имеющие зональное строение. Из акцессорных минералов преобладает апатит. В единичных случаях встречаются сфеин и рутил. Структура породы лампрофировая.

Диориты и кварцевые диориты (δCr_1) являются преобладающими породами в Мостолканских телах, локализующихся на небольшом участке левобережья р. Тыры. Здесь обнажаются шесть отдельных тел, являющихся, видимо, физами одного массива невскрытого эрозией. Все они находятся в границах общего роговикового поля. Площади отдельных тел в плане колеблются от сотен квадратных метров до квадратного кило-

^{X/} Выходы о геохимических особенностях интрузивных пород основаны на результатах полуколичественных спектральных анализов, выполненных в лаборатории Алмак-Чынской экспедиции Якутского геологического управления.

метра. В бассейне руч. Кара установлена дайка кварцевых жил. Она имеет широтное простирание и мощность 1,5 м.

Мостолканские тела сложены породами разнообразного состава от габбро-диоритов до гранодиоритов. Между всеми разновидностями пород обычно наблюдаются постепенные переходы с отчетливым преобладанием среди них роговообманковых диоритов и кварцевых диоритов. Более основные разности чаще устанавливаются по периферии тел, а гранодиориты обычно встречаются в центральных, наиболее вскрытых их частях.

Диориты и кварцевые диориты — мелко- и среднезернистые темно-серые породы. Они имеют такситовую текстуру, особенно отчетливо выраженную в наиболее основных разновидностях пород, обусловленную неравномерным распределением цветных минералов. Количество породообразующих минералов в породах характеризуется следующими цифрами (в %): плагиоклаз — 50–60, кварц — 2–12, роговая обманка — 19–23, биотит — 6–9, акцессорные и рудные минералы — 2–4.

Плагиоклаз образует полисинтетически сдвойниковые призматические или изометричные кристаллы. Они часто являются зональными. Состав зональных плагиоклазов меняется от лабрадора № 65 в ядре до андезина № 35 по периферии зерен. Ядра зональных зерен иногда замещаются серпентитом. Незональные кристаллы плагиоклаза представлены андезином (№ 37–40), редко олигоклазом № 28. Среди цветных минералов заметно преобладают идиоморфные зерна зеленой роговой обманки. Они иногда хлоритизированы. В небольших количествах встречаются биотит и авгит. Кварц и калиевый полевой шпат наблюдаются в виде ксеноморфных зерен. Иногда они образуют микропегматитовые срастания. Из акцессорных минералов преобладает апатит, иногда встречается циркон и в редких случаях сфеин, ортит, монацит и рутил. Структура породы призматическая зернистая или гипидиоморфно-зернистая.

В наиболее основных разновидностях пород, слагающих Мостолканские тела, состав зональных плагиоклазов отвечает лабрадору — биотититу (№ 67–75) в ядре и андезину № 42 по периферии зерен. Незональный плагиоклаз в них представлен андезином (№ 40–45). Среди темноцветных минералов в этих породах преобладает моноклинный пироксен. В редких случаях здесь встречаются единичные зерна оливина, частично замещенного минералами группы иддингита-боуллинита.

По петрохимическим особенностям диориты и кварцевые диориты (см. табл. 2) относятся к ряду пород пересыщенных алюминием,

насыщенных кремнеземом ($Q = 9,9-15,4$) и очень бедных щелочами ($\frac{A}{C} = 1,9-2,0$). В них устанавливается преобладание натрия над калием.

Геохимическая специализация диоритов и кварцевых диоритов, основанная на 48 спектральных анализах, выражается в повышенном, по сравнению с кларковым, содержанием кобальта, никеля, свинца и цинка. В этих породах содержание фосфора, калия, натрия, скандия и циркония ниже кларковых.

Диоритовые порфириты (δ_{Cr_1}) слагают дайки северо-восточного или субширотного простираний. Длина их колеблется от сотен метров до километра. В зоне Кызыл-Тасского разлома одна из даек имеет длину 5 км. Мощность даек изменяется от 0,3 до 30 м.

Диоритовый порфирит — зеленовато-серая порода с мелкозернистой основной массой и порфировой структурой. Количество вкрашленников составляет 20-25%. Порфировые выделения андезина (№ 45-50) иногда полностью замещены серпентитом и карбонатом. Несколько в меньшем количестве отмечаются псевдоморфозы хлорита и карбоната, по-видимому, по роговой обманке. В единичных случаях встречаются ксеноморфные выделения кварца. Основная масса сложена агрегатом кварц-полевошпатового состава с хлоритом и серпентитом. Структура основной массы призматически-зернистая.

Гранодиориты ($\gamma \delta_{\text{Cr}_1}$) слагают три массива — Средне-Халынский, Веткинский и Курумский. Все они локализуются в полосе меридионального простирания.

Курумский массив, расположенный в среднем течении руч. Курум, в плане имеет овальную форму. Он несколько вытянут в меридиональном направлении. Площадь массива около 6 км². Контактовая поверхность его в большинстве случаев полого ($10-15^\circ$) падает под осадочные породы. Только с восточной стороны угол на склоне достигает 50° . Массив сложен в основном биотит-роговообманковыми гранодиоритами. В приконтактовых частях, особенно в местах полого залегания кровли, Г.Н. Гамянин (35) отмечал появление пород повышенной основности, по составу соответствующих кварцевым диоритам. В Курумском массиве развиты жилы и прожилки аллитовидных гранитов и пегматитов, представляющие жильную fazu формирования массива.

Веткинский массив установлен в бассейне руч. Ветка. Площадь его, соответствующая около 6 км², имеет неправильную форму. Массив слабо вытянут в широтном направлении. Контактовая поверхность его повсеместно имеет пологое падение, за исключением ю-

ного контакта, который расположен вертикально. Массив сложен роговообманковыми гранодиоритами.

Иногда встречаются кварцевые диориты. В единичных случаях в Веткинском интрузиве встречены прожилки аллитовидных гранитов мощностью 2-3 см.

Наиболее крупный Средне-Халынский массивложен в междуречье Халыя и Долгучан. Площадь его около 132 км². Массив вытянут в северо-западном направлении. Контакты его падают в сторону от массива. При этом в юго-западной части падение их пологое, под углами в $10-20^\circ$, в северо-восточной — крутое, под углами в $70-80^\circ$.

Массив сложен преимущественно биотит-роговообманковыми гранодиоритами. Иногда в краевых частях интрузии устанавливаются кварцевые диориты. Мелкие тела кварцевых диоритов, вероятно, являющиеся апофизами массива, обнажаются к западу и северу от него. Вблизи контактов Средне-Халынского массива развиты мало-мощные дайки мелкозернистых гранитов и пегматитов.

Гранодиориты — светлые среднезернистые порфировидные породы с массивной или такситовой текстурой. Минеральный состав гранодиоритов характеризуется следующими цифрами (в %) (среднее из 30 подсчетов): плагиоклаз — 44,7; кварц — 24,0; щелочной полевой шпат — 16,2; биотит — 11,5; роговая обманка — 3,3; акессорные минералы — 0,3.

Зерна плагиоклаза, часто идиоморфные, наблюдаются в виде полисинтетических двойников. Изометричные его выделения иногда имеют зональное строение. Состав их меняется от андезина № 30 на периферии зерен до лабрадора № 50 в их ядре. Незональные зерна плагиоклаза представлены олигоклазом или андезином (№ 27-35). Зерна кварца имеют неправильную форму. Чаще всего они располагаются в промежутках между зернами полевых шпатов, иногда образуя с щелочным полевым шпатом микропегматитовые срастания. Идиоморфные вкрашленники калиевого полевого шпата, достигающие 2-3 см в длину, составляют 3,7% от всего объема породы. Они содержат многочисленные включения плагиоклаза, кварца и цветных минералов. Остальные выделения калиевого полевого шпата ксеноморфны. Пластинки биотита и идиоморфные зерна роговой обманки нередко хлоритизированы. Среди акессорных минералов преобладают апатит и циркон, реже встречаются ортит, сфен, рутил.

Аллитовидные граниты и пегматиты ($\gamma_1 \text{Cr}_1$) слагают жилы и прожилки мощностью от сантиметров до 1,5 м, секущие гранодиориты. Иногда такие прожилки выходят за пределы массива во вмещающие породы. Большая часть

их сложена аплитовидными гранитами. В редких случаях в прожилках наблюдаются раздувы, сложенные пегматитами.

Аплитовидный гранит — мелкозернистая, иногда тонкозернистая светлая порода с сахаровидным изломом. Минеральный состав пород (в %) (среднее из 7 подсчетов): щелочной полевой шпат — 45,7; кварц — 38,9; плагиоклаз — 19,1; биотит — 0,7; акцессорные минералы (апатит, циркон, рутил, ортит) — 0,1.

Щелочной полевой шпат образует ксеноморфные выделения, иногда содержащие перититовые вrostки альбита. Плагиоклаз характеризуется наиболее идиоморфными зернами. По составу он относится к олигоклазу (№ 23–28). Зерна кварца являются наиболее ксеноморфными выделениями. Биотит, часто хлоритизированный, присутствует в виде мелких чешуек. В нем нередко наблюдаются включения апатита, циркона, рутила. Ортит образует цепочковидные выделения, достигающие 0,1–0,2 мм. Структура пород гранулитовая, гранитовая, иногда микрографическая.

Пегматиты сложены крупными кристаллами калиевого полевого шата, кварца и редкими пластинками биотита.

По химическому составу гранодиориты (см.табл.2) принадлежат к нормальному ряду пород, пересыщенных кремнекислотой ($Q = 19,0\text{--}19,6$) и бедных щелочами ($\frac{a}{c} = 3,6$). В них отмечается преобладание натрия над калием. В отличие от гранодиоритов, аплитовидные граниты пересыщены алюминием, кремнекислотой ($Q = 35,7$) и щелочами ($\frac{a}{c} = 10,7$). В противоположность гранодиоритам здесь устанавливается заметное преобладание калия над натрием.

Геохимическая специализация гранодиоритов в каждом массиве имеет свои особенности. В гранодиоритах Веткинского массива по 28 анализам содержания хрома, фосфора, циркония, церия и скандия превышают кларковые, а содержания циркона, свинца и меди ниже их. Сходные геохимические особенности имеют гранодиориты Средне-Халынинского массива. В них по 50 анализам установлены повышенные, по сравнению с кларковыми, содержания скандия, бериллия и ванадия, а количество цинка, свинца, меди, хрома и церия ниже кларковых. В противоположность этим интрузиям, в гранодиоритах Курумского массива отмечается обратная закономерность в распределении элементов. Здесь цинк, свинец, медь и мышьяк со-держатся в количествах выше кларковых, а хром, цирконий, церий, ванадий, кобальт и никель — ниже их.

ПОЗДНЕМЕЛОВЫЕ ИНТРУЗИИ

К интрузивным породам позднемелового возраста относятся дайки и тела неправильной формы кварцевых порфиров и интрузии

аляскитовых фаялитсодержащих гранитов. Эти породы обнаруживаются в бассейнах ручьев Хаганчан, Эмкирчан и Астрочан. Кварцевые порфиры локализуются вдоль разрывов, ограничивающих Верхне-Халынинский грабен. По своему петрографическому составу они очень близки к липаритам нитканской свиты позднемелового возраста. Поэтому возраст кварцевых порфиров принимается позднемеловым.

Аляскитовые фаялитсодержащие граниты расположены в пределах Верхне-Халынинского грабена. Они оказывают контактовое воздействие на породы дюстачанской свиты. В 30 км восточнее границ района, в бассейне р.Юдомы, интрузии аляскитовых гранитов с фаялитом метаморфизуют породы нитканской свиты. На этом основании интрузии аляскитовых гранитов считаются образованиями позднемелового возраста.

Абсолютный возраст аляскитовых гранитов установлен калий-аргоновым методом по валовым пробам. Определения были проведены Н.Ч.Ненашевым (ЯФ СО АН СССР) и С.Б.Брандтом (СибГЕОХИ). Граниты из Хогончанского массива имеют возраст 75 млн. лет. Возраст гранитов из Эмкирчанского массива изменяется от 80,5–80,7 млн. лет по С.Б.Брандту до 104–113 млн. лет по Н.И.Ненашеву. Все эти данные подтверждают правильность отнесения аляскитовых гранитов к позднемеловому возрасту.

Кварцевые порфирин ($\lambda\text{-Cr}_2$) образуют дайки и тела неправильной формы. Тела кварцевых порфиров имеют сложную форму. Они часто вытянуты на 2–3 км при ширине от десятков метров до 300–500 м. Контактовая поверхность их неправильна и осложнена многочисленными апофизами. Дайки кварцевых порфиров известны в бассейне руч.Дальнего и р.Тыры. Они имеют преимущественно северо-восточное, иногда широтное направление и вертикальное падение. Мощность даек от 2 до 6 м.

Кварцевые порфирин — светлые плотные породы с порфировой структурой. Общее количество вкрашенников составляет около 10%. Среди них преобладают идиоморфные выделения кварца. Реже встречаются вкрашенники альбита-олигоклаза до № 15. Нередко зерна его интенсивно хлоритизированы и серпентинизированы. Основная масса сложена преимущественно кварцем (до 45%) и калиевым полевым шпатом. В редких случаях здесь отмечается альбит. Структура основной массы микрофельзитовая и микроаллотриоморфнозернистая.

Аляскитовые граниты ($\gamma\text{-Cr}_2$) слагают Эмкирчанский и Хогончанский массивы и Хербакский шток. В них обнаруживаются граниты трех разновидностей. Преимущественное развитие имеют средне- и крупнозернистые граниты, залегающие в основ-

ном в центральных частях массивов. Вокруг них в виде оторочки шириной до нескольких сотен метров расположены мелкозернистые граниты с фаялитом. Количество гранитов разной зернистости в каждом массиве зависит от степени его эрозии. Границы между мелкозернистыми гранитами и остальными разновидностями отчетливые, но без зоны закалки. Между средне- и крупнозернистыми гранитами наблюдаются постепенные переходы. В приконтактовых частях массивов установлены секущие жилы и прожилки аплитов и пегматитов.

Эмкырчанский массив площадью около 43 км² расположен в бассейне р. Хални, в приустьевых частях ручьев Хогончан, Эмкырчан и Астрочан. Контакты массива падают от него полого под углами 10–15°. С юга интрузия ограничена тектоническим нарушением. Эмкырчанский массив сложен мелко-, средне- и крупнозернистыми гранитами с фаялитом.

Хогончанский массив расположен в верховьях одноименного ручья. Он обнажается в виде выходов общей площадью около 0,5 км². Массив сложен преимущественно мелкозернистыми гранитами.

Хербакский шток вскрыт эрозией в среднем течении руч. Хаганчан в виде небольшого (500x800 м) выхода с крутопадающими контактами. Шток сложен мелкозернистыми гранитами.

Аляскитовые граниты – светлые с сероватым или желтоватым оттенком, мелко-, средне- или крупнозернистые породы с порфироидными выделениями полевых шпатов и кварца. В гранитах нередко наблюдаются миаролиты величиной до 1–1,5 см, выполненные мелкими скристаллами полевых шпатов, кварца, флюорита. Минеральный состав породы следующий (в %) (среднее из 47 подсчетов): щелочной став – 39,3; кварц – 36,6; плагиоклаз – 20,8; биотит – 3,2; акцессорные и рудные минералы – 0,1.

Ортоклаз, иногда альбитизированный, образует ксеноморфные зерна. Вкрашенники его имеют идиоморфные очертания и достигают 1–2 см. Кварц наблюдается в виде ксеноморфных зерен величиной до 1 см, в краевых частях этих зерен он нередко образует микрографические срастания со щелочным полевым шпатом. Плагиоклаз, часто серпентизированный, встречается в виде идиоморфных зерен величиной до 1,5 см. Вкрашенники плагиоклаза по составу отвечают олигоклазу (№ 27–28); более мелкие его зерна относятся к альбиту и олигоклазу (№ 10–12). Биотит, нередко хлоритизированный, содержит включения циркона. Из акцессорных минералов наиболее распространенным является флюорит, реже встречаются циркон, апатит, ортит.

Мелкозернистый гранит отличается от описанных повышенным содержанием (до 42%) калиевого полевого шпата и наличием фаялита.

Содержание оливина достигает 2,2%. Зерна его имеют изометрическую форму. Величина зерен достигает 1,5 мм. По фаялиту нередко развиваются вторичные минералы группы иддингита – боуллинита.

Аляскитовые граниты по петрохимическим особенностям (см. табл.2) принадлежат к ряду пересыщенных алюминием пород. Они пересыпаны кремнекислотой ($Q = 32,4\text{--}35,8$) и щелочами ($\frac{a}{c} = II, 3\text{--}21,0$). В аляскитовых гранитах калий преобладает над натрием.

Геохимическая специализация этих пород, основанная на 75 спектральных анализах, выражается в повышенных, по сравнению с клярковыми, содержаниях калия, иттрия, иттербия, скандия, олова и мышьяка и пониженных содержаниях бериллия, лития, рубидия и цезия.

А плитовидные граниты и пегматиты ($\gamma\text{-Cr}_2$) образуют секущие жилы и прожилки в приконтактовых частях массивов. Отдельные прожилки встречаются в 300 м от массива во вмещающих породах. Подавляющее количество жил сложено аплитовидным гранитом. Пегматиты отмечаются только в центральной части наиболее мощных жил или в их раздувах.

Аплитовидный гранит – тонкозернистая белая, иногда с желтоватым оттенком порода с единичными вкрашенниками полевого шпата и кварца. Основная масса сложена преимущественно калиевым полевым шпатом и кварцем, нередко образующими микрографические срастания. Идиоморфные вкрашенники калиевого полевого шпата иногда пелитизированы. Фенокристаллы кварца также идиоморфны, величина их достигает 0,2–0,3 мм. Порфировидные выделения серпентизированного плагиоклаза встречаются очень редко. Они имеют идиоморфные очертания. Структура породы гранулитовая, иногда микрографическая.

Пегматиты сложены кристаллами кварца и калиевого полевого шпата до 5 см, крупными, до 1 см, пластинками биотита и кристаллами фаялита, до 2–3 см.

ПАЛЕОГЕННЫЕ ИНТРУЗИИ

К породам условно палеогенового возраста относится дайка долеритов, обнажающаяся в бассейне руч. Кызыл-Тас. Здесь, в зоне Кызыл-Тасского разлома долериты не затронуты гидротермальными изменениями в отличие от дайки диоритовых порфиритов, которые пересечены кварц-хлоритовыми прожилками. В бассейне р. Юдома, в 20 км восточнее границы района дайки аналогичного состава пересекают аляскитовые граниты с фаялитом.

Химический состав

Окислы	Массивы					
	Джотыканский			Мостолканский		
	I	2	3	4	5	6
SiO ₂	55,80	62,80	66,27	65,06	57,77	60,79
TiO ₂	1,00	0,88	0,45	0,55	0,59	0,94
Al ₂ O ₃	17,36	16,26	15,7	16,65	18,56	17,41
Fe ₂ O ₃	4,35	0,74	0,41	0,94	0,50	0,84
FeO	3,34	4,88	4,18	3,37	5,23	4,95
MnO	0,13	0,11	0,08	0,07	0,12	0,11
MgO	3,98	2,26	1,11	1,13	1,95	2,32
CaO	7,59	4,02	2,44	3,22	5,13	4,65
Na ₂ O	3,43	3,43	4,30	4,21	3,36	3,48
K ₂ O	2,13	3,45	3,80	3,58	2,94	2,43
H ₂ O	0,27	0,19	0,37	0,08	0,19	0,29
P ₂ O ₅	0,23	0,25	0,27	0,08	0,28	0,20
П.п.п.	0,89		0,62	1,06	3,38	1,53
Сумма	100,50	99,18	100,00	100,00	100,00	100,00

Таблица 2
интрузивных пород

Курум- ский	Средне-Ха- лынский	Хербак- ский	Эмкирчанский			Хогон- чанский				
			7	8	9	10	II	I2	I3	I4
64,26	65,68	74,68	72,04	75,37	75,28	75,51	73,8			
0,55	0,57	0,11	0,27	0,41	0,19	0,10	0,20			
15,51	15,48	12,90	13,65	12,45	12,55	12,61	13,90			
0,59	0,58	0,15	0,59	0,07	0,08	0,32	0,18			
4,76	4,08	1,44	2,15	2,02	2,22	1,58	1,64			
0,11	0,08	0,02	0,05	0,03	0,03	0,04	0,03			
1,84	1,75	0,47	0,13	0,19	0,18	0,16	0,35			
3,84	3,47	1,14	1,88	0,64	0,64	0,74	1,02			
3,80	3,59	3,18	3,30	3,89	3,79	3,63	3,25			
3,12	3,95	5,09	4,76	4,63	4,68	4,61	4,79			
0,86	0,21	0,19	0,76	0,11	0,20	0,29	0,09			
0,24	0,20	0,21	0,12	0,05	0,04	0,19	0,17			
	0,36	0,42	0,07	0,14	0,12	0,22	0,58			
99,48	100,00	100,00	99,71	100,00	100,00	100,00	100,00			

числовые характеристики по

	I	2	3	4	5	6
a	10,7	12,5	14,6	14,6	12,5	11,5
c	6,8	4,8	3,8	3,9	6,7	5,8
b	16,7	9,4	6,4	6,1	10,0	9,0
s	65,8	73,3	75,7	75,4	70,8	72,1
a'			2,1	1,1	5,8	8,6
f'	42,7	57,3	69,2	67,4	58,4	53,6
m'	41,0	41,2	28,7	31,5	35,8	37,8
c'	16,3	1,5				
n	71,5	59,7	63,3	64,2	63,2	68,7
Q	3,4	16,8	18,6	17,7	9,9	15,4
t	1,4	1,05	0,54	0,65	0,8	1,2
Σ	23,0	6,6	6,4	13,5	4,4	7,3
\bar{a}	1,6	2,6	4,97	3,7	1,9	2,0

П р и м е ч а н и е. Анализы производились в центральной
1 - андезит из дайки (ан. I); 2 - дацит руч. Лагерного (I анализ);
3 - кварцевый монцонит-порфир (3 анализа); 4 - порфировидный
кварцевый монцонит (13 ан.); 5 - диорит (2 ан.); 6 - кварцевый
(15 ан.); 9 - аплитовидный гранит (2 ан.); 10 - гранит (I ан.);
(15 ан.); 13 - гранит мелкозернистый (I ан.); 14 - гранит
столбчатый (4 ан.); 15 - гранит среднезернистый (2 ан.).

А.Н. Заваричному

7	8	9	10	II	I2	I3	I4
12,9	13,5	13,9	13,9	14,7	14,5	14,2	13,6
3,6	3,6	1,3	2,0	0,7	0,8	0,8	1,2
8,1	2,4	3,0	2,4	2,5	2,5	2,5	4,2
74,5	74,8	82,4	81,1	82,2	82,2	82,5	81,0
		2,8			2,6	16,2	45,3
56,5	55,5	63,7	86,6	81,1	84,6	73,0	40,6
35,1	37,0	33,5	6,7	13,5	12,8	10,8	14,1
8,4	7,5		6,7	5,4			
65,0	58,3	48,7	51,3	56,0	55,0	54,6	50,7
19,6	19,0	35,7	32,4	34,3	34,6	35,8	33,6
0,65	0,6	0,08	0,3	0,4	0,2	0,08	0,2
6,1	6,7	5,6	17,8	2,7	2,6	10,8	3,1
3,6	3,6	10,7	7,0	21,0	18,2	17,8	11,3

лаборатории ЯГГУ: аналитики М.Беленькая и В.Тихоньких.
3 - кварцевый монцонит-порфир (3 анализа); 4 - порфировидный
диорит (2 ан.); 7 - гранодиорит (I ан.); 8 - гранодиорит
II - гранит крупнозернистый (3 ан.); I2 - гранит среднезернистый
(2 ан.).

Долериты ($\beta Pg?$) слагают дайку субширотного простирия мощностью 4 м. Долерит - плотная, темно-серая с зеленоватым оттенком, мелкозернистая порода с массивной текстурой. Порода состоит в основном (в %): из плагиоклаза - 50-60 и цветных минералов, представленных моноклинным пироксеном - 25-30, роговой обманкой - 5-10 и биотитом до 5.

Плагиоклаз образует идиоморфные зерна величиной до 1 мм. По составу он относится к лабрадору № 53-58. Плагиоклаз слабо серпентинизирован, иногда по нему развит хлорит и редко - карбонат. Авгит наблюдается в виде ксеноморфных зерен 0,1-0,3 мм, иногда сильно хлоритизированных. Ксеноморфные выделения роговой обманки также иногда замещены хлоритом. Чешуйки биотита, редко встречающиеся в породе, распределены равномерно. Апатит образует тончайшие призмочки в плагиоклазе, реже в цветных минералах. Структура породы ойтовая.

КОНТАКТОВО-МЕТАМОРФИЗОВАННЫЕ ПОРОДЫ

Эти породы не только окружают обнажающиеся массивы как ранне-, так и позднемелового возраста, но слагают и самостоятельные значительные площади в бассейнах ручьев Ветвистого, Весеннего и Астрочан, указывая на приповерхностное залегание здесь интрузий. Характер контактово-метаморфизованных пород закономерно изменяется в направлении от границ массивов. Близи массивов наблюдается зона роговиков, которая затем сменяется зоной пятнистых сланцев и слабо ороговикованных пород. Ширина полей контактово-метаморфизованных пород изменяется от десятков метров до 4 км. При этом ширина внутренней роговиковой зоны обычно не превышает 400 м. Внутренняя зона сложена пироксен-амфиболовыми и биотитовыми роговиками.

Пироксен-амфиболовые роговики - серовато-зеленоватые плотные породы с пятнистой или полосчатой текстурами. Они сложены мелкозернистым агрегатом пироксена, амфибола, кварца и полевых шпатов. Мелкие зерна пироксена равномерно рассеяны по всей породе. Иногда они образуют прожилки и пятна неправильной формы. Содержание пироксена колеблется в широких пределах, достигая 60%. По составу он относится к ряду диопсид-геденбергит. Амфибол (паргасит) иногда широко развит наряду с пироксеном. Изредка он образует обособленные гнезда и прожилки. Мелкие зерна кварца и полевых шпатов распределены в породе неравномерно.

Роговики пироксен-амфиболового состава, вероятно, ~~были~~ образованы по осадочным породам с повышенным содержанием известковистого материала.

Биотитовые роговики - плотные с раковистым изломом мелкозернистые бурые или темно-коричневые породы. Они сложены агрегатом биотита, кварца, полевых шпатов и иногда пирротина. Основным минералом является биотит. Он наблюдается в виде мелких чешуек равномерно рассеянных в породе. Содержание биотита в породе достигает 40%. Обломки кварца и полевых шпатов нередко имеют регенерационную кайму. Тонкая вкрашенность пирротина отмечается не всегда. Количество ее увеличивается в роговиках, образованных по глинистым сланцам.

Слабо ороговикованные породы отличаются от пород не застронутых процессами контактowego метаморфизма более плотным сложением и развитием чешуек вторичного биотита. В пятнистых сланцах отмечаются реликты зерен кордиерита, замещенного чешуйками светлой слюды.

В бассейне руч. Астрочан встречаются своеобразные породы, состоящие преимущественно из альмандина и биотита. Они образуют прожилки, линзы и гнезда вдоль трещин широтного простирия в осадочных породах и в телах монцонит-порфиров. Мощность этих образований колеблется от 5 см в монцонит-порфирах до 10 м в осадочных породах. Эта своеобразная порода сложена мелкозернистым агрегатом зерен зеленого биотита, заключающего крупные, до 1,5 см в диаметре, идиоморфные кристаллы альмандина. В небольшом количестве в породе присутствуют кварц, шпинель, апатит, арсенопирит, сфalerит и галенит.

ТЕКТОНИКА

Описываемый район по С.В.Домохотову (4) относится к центральной зоне Южно-Верхоянского синклиниория, представляющего собой юго-западное ответвление Яно-Колымской складчатой зоны.

Породы, слагающие район образуют два структурных яруса, разделенные резким угловым несогласием (рис. I). Более древний структурный ярус, в строении которого участвуют отложения верхоянского комплекса, характеризуется выдержаными складками север-северо-восточного простирия, значительно осложненными различного направления и возраста разломами. Второй структурный ярус образован слабодеформированными, преимущественно вулканогенными породами позднего мезозоя. Эти породы сохранились от

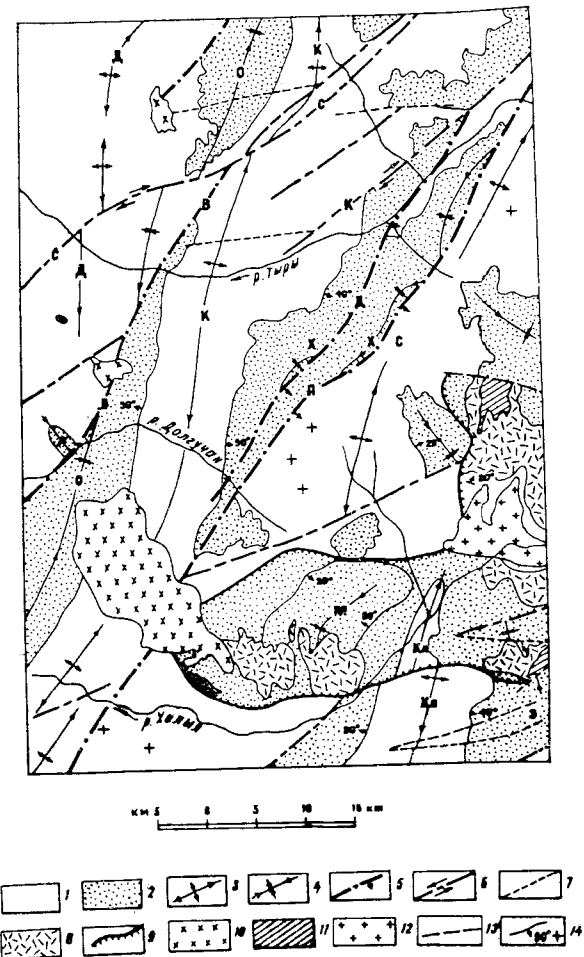


Рис. I. Тектоническая схема

Нижний структурный ярус, образованный отложениями верхоянского комплекса: 1 - антиклинали; Д - Дыбинская, К - Керехтахская, С - Сетаньинская, Кп - Кильдеркичская; 2 - синклинали: О - Оганынская, Х - Хампейская, З - Эмкырчанская, М - Моутская; 3 - оси антиклиналей и направление погружения их осей; 4 - оси синклиналей и направление погружения их осей; 5 - взбросы: Л - Перевальяненский, Д - Долгучайский, В - Веткинский; 6 - сдвиги Сунтарской системы: С - Сунтарский, К - Кыгыл-Тасский; 7 - разрывы с неустановленным характером перемещений. Верхний структурный ярус: 8 - нижний подъярус - раннемеловые, частично позднеюрские вулканогенные породы и субвулканические тела; 9 - сбросы ограничивающие Верхне-Калмыкский грабен; 10 - раннемеловые интрузии диоритов, кварцевых диоритов и гранодиоритов; 11 - верхний подъярус - позднемеловые вулканогенные породы; 12 - позднемеловые интрузии гранитов; 13 - сбросы, движение по которым продолжалось в позднемеловую эпоху; 14 - простирание и падение пород, горизонтальное залегание

эрозии лишь в границах Верхне-Калмыкского грабена, входящего в район своей западной части.

Время складчатости нижнего структурного яруса не может быть точно установлено из-за неопределенности возраста авлинской свиты и выпадения из разреза отложений средней и верхней юры. Исходя из данных по окружающим районам, складчатость, вероятно, произошла в позднеюрскую эпоху или в начале раннемелового времени.

Нижний структурный ярус

Складчатые структуры. Все главнейшие складки района, сложенные отложениями верхоянского комплекса, являются лишь частями крупных складок, прослеживающихся далеко за пределами описываемого района. Среди этих складок выделяются четыре антиклинали - Дыбинская, Керехтахская, Сетаньинская и Кильдеркичская, сложенные пермскими породами и три синклинали Оганынская, Хампейская и Эмкырчанская, в строении которых преимущественно участвуют отложения триаса и юры.

Дыбинская антиклиналь - сложная асимметричная складка, максимальной шириной до 10 км входит в район своим южным окончанием. Ее ядро, обнажающееся на правобережье р. Тыры, сложено нижнепермскими отложениями, образующими мелкие складки, осложненные многочисленными разрывами. Именно здесь находится Нежданинское золоторудное месторождение. Восточное крутое крыло антиклинали образовано верхнепермскими породами, падающими на восток под углами от 40 до 80°. Западное ее крыло относительно пологое и осложнено более мелкими складками. Оно также сложено верхнепермскими отложениями. Ось антиклинали от ее ядра полого погружается на север и более круто (10-15°) на юг. В междуречье Тыры и Долгучана наблюдается периклинальное замыкание складки. Дыбинская антиклиналь рассекается Сунтарским правосторонним сдвигом. При пересечении восточного крыла антиклинали амплитуда смещения по этому сдвигу достигает 2,5 км.

Оганынская синклиналь, сопряженная с Дыбинской и Керехтахской антиклиналями, прослеживается в районе на протяжении 62 км. Вследствие перегиба оси на правобережье р. Тыры складка имеет две мульды, в которых обнажаются верхнетриасовые отложения. В месте перегиба оси она осложнена небольшим выщипнутым блоком, выходящим на поверхность верхнепермские отложения. Этот блок, выходящим на поверхность верхнепермские отложения. Этот блок ограничен на севере Сунтарским сдвигом, на юге - Веткинским сдвигом.

ским разрывом, который протягивался до р.Долгучан обрезает западное крыло Оганынинской синклиналии у южной мульды. В этой части синклиналь имеет клинообразную форму; ее крылья падают под углами от 40 до 50°. Максимальная ширина складки по подошве нижнетриасовых пород достигает здесь 9 км. На севере Оганынинская синклиналь приобретает корытообразную форму - почти с горизонтально залегающими породами в мульде и крутыми крыльями. Здесь она также осложнена несколькими тектоническими нарушениями и ширина ее несколько уменьшается.

Керехтяхская антиклиналь - наиболее отчетливо выраженная складка, пересекающая весь район. Почти везде она имеет пологий свод и относительно крутые крылья. Ядро антиклиналии, сложенное породами нижней подсвиты менкеченской свиты верхней перми, пересекается долиной р.Тыры. На этом участке антиклиналь имеет по кровле верхнепермских отложений ширину около 15 км и отчетливо выраженное асимметричное строение из-за крутого и узкого западного крыла. К югу от этого пересечения ось складки постепенно погружается и ее ширина уменьшается. Близи Средне-Халынского массива антиклиналь становится симметричной и имеет по тому же горизонту ширину около 8 км. К югу от указанного массива ось антиклиналии поднимается и в ее ядре выходят на поверхность нижнепермские отложения. К северу от долины р.Тыры Керехтяхская антиклиналь сохраняет свою ширину и у северной границы района от нее отвечается дополнительная антиклиналь. В этой части антиклиналь нарушается многочисленными разрывами, среди которых наиболее крупными являются Сунтарский и Кытыл-Тасский сдвиги.

Хампейская синклиналь, находящаяся к востоку от Керехтяхской антиклиналии, имеет только западное крыло, триасовые породы которого падают на юго-восток под углами от 30 до 50°. Восточное ее крыло срезано продольным Перевальниковым взбросом. В свою очередь западное крыло Хампейской синклиналии сдавливается Долгучанским продольным взбросом, в связи с чем складка имеет две параллельных мульды, сложенные верхнетриасовыми отложениями. К югу складка прослеживается по р.Халыя. Здесь, вследствие поднятия ее оси, она образована верхнепермскими отложениями. На севере Хампейская синклиналь выходит за границы района.

Сетанынинская антиклиналь ограничена с северо-запада Перевальненским сбросом. На юге она обрезается сбросами Верхне-Халынского грабена. У складки сохранился только широкий до 8 км пологий свод, сложенный горизонтально лежащими верхнепермскими и нижнетриасовыми породами, и фрагменты крыльев.

Восточнее, за пределами района, складка расположена между Хампейской и Эмкырчанской синклиналями. В пределах Верхне-Халынского грабена она не прослеживается. Юго-восточное крыло антиклиналии осложнено небольшими складками северо-западного простирания, перпендикулярными к направлению ее оси.

Кильдеркичская антиклиналь входит в район северным окончанием и прослеживается в юго-восточной его части на расстоянии около 20 км. Складка расположена кулисообразно по отношению к Сетанынинской антиклиналии. Шарнир складки погружается в юго-западном направлении. Пологий свод в сочетании с крутыми, от 50 до 70°, крыльями придает складке сундучный облик. Ширина антиклиналии по подошве триасовых отложений достигает 10 км. В пределах Верхне-Халынского грабена ширина ее по тому же горизонту уменьшается до 2 км. Шарнир ее здесь погружается в северо-восточном направлении.

Эмкырчанская синклиналь имеет общую протяженность выше 100 км. Складка входит в район небольшой площадью своей центральной части. Здесь обнажаются западное крыло и ее мульда, сложенная породами нижней юры. Ширина синклиналии по кровле верхнего триаса достигает 8 км. Западное крыло ее имеет крутое, от 40 до 60°, падение. К осевой части складки падение слоев постепенно выплаживается до 20°. В пределах Верхне-Халынского грабена общий характер синклиналии сохраняется, хотя здесь она осложнена дополнительными складками. Ширина ее мульды по тому же горизонту увеличивается до 12 км.

Моутская синклиналь находится в границах Верхне-Халынского грабена и является брахискладкой слабо вытянутой в северо-восточном направлении. Ширина ее по подошве лейасовых отложений изменяется от 6 до 8 км. Складка имеет асимметричное строение. Юго-восточное ее крыло имеет круглое падение от 50 до 80°, а северо-западное крыло падает под углом не превышающим 30°. В мульде складки породы залегают почти горизонтально. Возможно, что Моутская синклиналь образовалась во время погружения Верхне-Халынского грабена.

Разрывные нарушения

Пликативные структуры нижнего структурного яруса значительно осложнены многочисленными различного направления и возраста разломами. Среди них выделяются четыре группы. Группа северо-северо-восточных взбросов, близких по простиранию к общему

направлению складчатых структур. Эти разломы являются наиболее древними по возрасту. Ко второй группе отнесены сдвиги северо-восточного простирания, которые были выделены Н.И.Ларином (6) в Сунтарскую систему разрывов. Установлено, что сдвиги являются более молодыми, чем групша взбросов. Третью группу образуют разрывы широтного простирания. Отношение их к предыдущим группам осталось невыясненным. Возможно, что они являются еще более молодыми. Наконец, к четвертой группе относятся сбросы, ограничивающие Верхне-Халынский грабен, в границах которого только и сохранились осадочно-вулканогенные породы позднего мезозоя, об разующие второй структурный ярус.

Главными разломами первой группы являются Веткинский, Перевальгинский и Долгучанский взбросы.

Веткинский взброс, прослеженный в районе на 40 км, сопряжен с Сунтарским сдвигом. Взброс выражен полосой интенсивно раздробленных и развалцованных, переходящих на отдельных участках в брекции, осадочных пород, достигающей ширины до 100 м. Близи взброса наблюдается мелкая складчатость, особенно широко проявившаяся в северо-западном крыле. Разрыв часто сопровождается кварцевыми жилами и прожилками. Степень окварцевания заметно уменьшается с северо-востока на юго-запад. Плоскость взброса имеет крутое падение к северо-западу. Смещение по нему увеличивается с северо-востока на юго-запад, достигая максимума на водоразделе рек Тыры и Долгучана, где по нему приходят в соприкосновение отложения верхней перми и верхнего триаса.

Перевальгинский взброс прослежен от верховьев р.Тыры до руч.Игонджа на расстояние свыше 80 км. Плоскость его круто падает к юго-востоку. Взброс выражается полосой, достигающей ширины 110 м, интенсивно раздробленных и перемятых пород с неравномерным окварцеванием. Смещение по взбросу непостоянно. В бассейне руч.Кардонного левого притока р.Тыры амплитуда смещения достигает 3 км.

Долгучанский взброс, сдваивающий крыло Хампейской синклинали, проходит на расстоянии от 2 до 6 км параллельно Перевальному взбросу и имеет такой же характер.

Вторую группу образуют правосторонние сдвиги достаточно широко распространенные в районе. Наиболее крупными из них являются Сунгарский и Кызыл-Тасский сдвиги.

Сунтарский сдвиг, по которому и названа вся система сдвигов, пересекает северо-западную часть района. Направление разрыва меняется от север-северо-восточного до северо-восточного. В местах изгиба происходит раздвоивание разрыва. Расстояние

между получающимися при этом его ветвями достигает 2 км. Параллельно основной ветви нередко наблюдаются короткие разрывы того же направления. Все разрывы сопровождаются брекциями, скементированными сетью кварцевых прожилков. По характеру перемещений Сунтарский разлом является правосторонним сдвигом. Амплитуда его изменяется в широких пределах. Наибольшей величины - 2,5 км в плане, она достигает в месте пересечения сдвигом восточного крыла Дыбинской антиклинали. Далее к северо-востоку она постепенно уменьшается и в месте пересечения ими оси Керехтянской антиклинали амплитуда в плане едва достигает 0,5 км. Падение плоскости сдвига во всех случаях вертикальное.

Кызыл-Тасский сдвиг имеет четкое линейное направление по азимуту 52° и прослеживается на расстояние 30 км. Разрыв сопровождается полосой шириной до 60 м, раздробленных пород, скементированных кварцем. Параллельно ему, в бассейне руч.Кызыл-Тас, развита серия кварцевых жил с арсенопиритом, слагающих Кызыл-Тасское рудопроявление. Вдоль разлома иногда устанавливаются мелкие складки, развитые в полосе шириной до 300 м. По простиранию разрыва в юго-западном направлении ширина полосы брекчированных пород сокращается. Вдоль Кызыл-Тасского сдвига от руч.Глуванного до р.Тыры локализуется дайка диоритовых порфиритов. По характеру перемещений разрыв является правосторонним сдвигом с вертикальным падением плоскости.

Третью группу образуют широтные разрывы. Характер перемещений по ним не установлен. Возможно, что иногда они являются сбросами. Они установлены в бассейнах р.Долгучан и ручьев Курума и Весеннего. Протяженность этих разрывов достигает 6 км. Иногда к ним приурочены проявления полиметаллических руд.

Верхний структурный ярус

Второй структурный ярус образуют вулканогенные породы позднемезозойского возраста. В нем может быть выделено два структурных подъяруса. Нижний подъярус образован породами авлиинской и дистачанской свит, возможно, позднеюрского и раннемелового возраста. Породы этих свит лежат с резким угловым несогласием на отложениях верхоянского комплекса. Породы нижнего подъяруса слагают три небольших участка общей площадью около 80 км², в бассейнах ручьев Мута, Астрочана и Хаганчана. Они обычно полого падают к центру, сложенныхими участков, под углами не превышающими 10°.

Верхний структурный подъярус образован горизонтально залегающими эфузивами нитканской свиты позднемелового возраста. Эти эфузивы лежат с небольшим угловым несогласием на подстилающих породах дюстачанской свиты. Вулканогенные образования верхнего подъяруса обнажаются лишь в двух участках в бассейне ручьев Хогончана и Хербака.

Возможно, между вулканогенными породами этих структурных подъярусов существовал значительный перерыв во времени.

Одновременно с извержениями, образовавшими авлиинскую и дюстачанскую свиты, вероятно, произошло опускание Верхне-Халынского грабена, который входит в район западной частью. Он имеет неправильную форму и ограничен сбросами различных направлений, плоскости которых круто падают к внутренней части грабена. С юга он ограничен Хербакским сбросом, который прослеживается на расстояние свыше 35 км. Простижение этого разрыва широтное; в западном своем окончании он изгибается к северу. Вертикальная амплитуда смещения по этому сбросу в бассейне руч. Хаганчан, вероятно, достигает 2,5 км. Бинто-Халынский сброс ограничивает с севера западную часть грабена. Он в общем параллелен Хербакскому разрыву, но поверхность его падает к югу. Северная часть грабена с запада ограничена Хогончанским сбросом, который в плане представляет собой непараллельную ломаную линию в общем меридионального простириания. На севере грабен ограничен Верхне-Хогончанским сбросом запад-северо-западного направления. По этому сбросу движения происходили и в позднемеловое время.

Максимальная амплитуда опускания грабена, превышающая, вероятно, 2,5 км, характерна для участков грабена, находящихся у восточной границы района.

В западной части района по гравиметрическим данным К.К.Шашниковым (36) выделен глубинный разлом в кристаллическом фундаменте, названный Кидерикинским. По этому разлому западный блок фундамента поднят на 1,5 км. Наличие разлома подтверждается распределением вдоль него интрузий гранитоидов раннемелового возраста.

На карте графиков ΔT_a район характеризуется относительно спокойным магнитным полем (рис.2). На этом фоне отчетливо выделяются участки с аномально повышенным магнитным полем. В бассейнах ручьев Бетвишного, Весеннего, Гельды, Мостолкан и рек Долгучана и Халы они соответствуют площадям развития контакто-метаморфизованных пород. Непосредственно над массивами гранитоидов раннемелового возраста наблюдаются отрицательные магнитные поля.

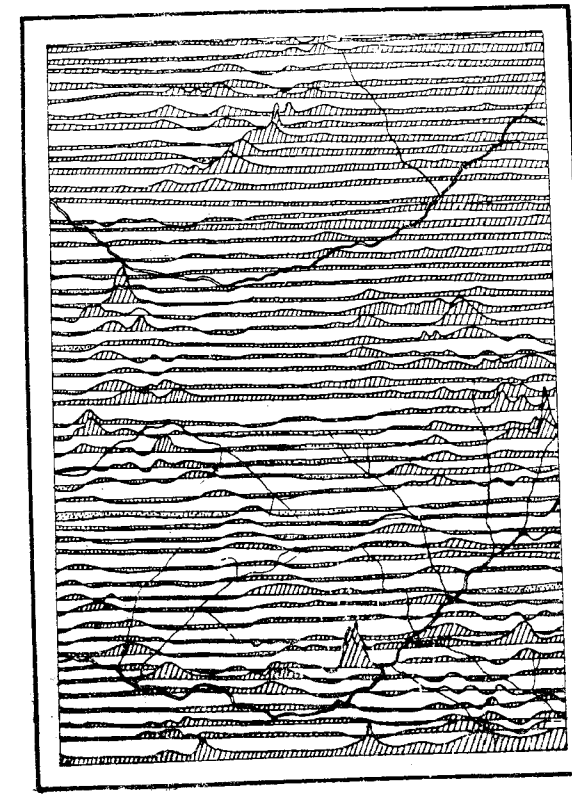


Рис.2. Карта графиков ΔT_a

Краткая история тектонического развития района

Геосинклинальный этап развития района характеризовался накоплением толщ терригенных осадков мощностью около 9000 м. Наиболее глубоководные осадки, вероятно, отлагались в раннепермскую эпоху. Дальнейшее развитие характеризовалось постепенным уменьшением глубины осадконакопления, вплоть до субконтинентальных условий, установленных в среднетриасовую эпоху. На общем фоне обмеления бассейна отчетливо выделялись короткие периоды трансгрессии моря, во время которых отлагались глинистые осадки. С конца позднетриасовой эпохи вновь происходит морская трансгрессия. В это время единого открытого морского бассейна, видимо, не было, а существовали лишь отдельные узкие и глубокие лагуны, которые иногда превращались в закрытые бассейны. Такой режим сохранился и в начале среднеюрской эпохи, когда были образованы наиболее молодые терригенные осадки. Следующие, более молодые вулканогенные образования, датируются поздней юрой – ранним мелом. Следовательно, в этот промежуток времени, скорее всего в поздней юре, но, может быть, и в раннем мелу произошло замыкание геосинклинали. Этот процесс сопровождался складчатостью, вызвавшей образование структур в отложениях верхоянского комплекса. Первоначально были образованы основные пликативные структуры. Позднее они были усложнены взбросами, а затем сдвигами. Дальнейшие напряжения привели к образованию блоков, часто ограниченных сдвигами, и усложнили их внутреннюю структуру.

Вероятно, после длительного периода эрозии в юго-восточной части района началась интенсивная вулканическая деятельность, вызванная неравномерным перемещением отдельных блоков земной поверхности. Первыми были образованы вулканогенные породы авлиинской и дюстачанской свит и связанные с ними дайки андезитов и субвулканические тела порфировидных кварцевых монцонитов и кварцевых монцонит-порфиров. Вероятно, одновременно с образованием вулканогенных пород в позднеюрское – раннемеловое время происходит опускание Верхне-Халынского грабена. Пересечение Средне-Халынского гранодиоритовым массивом сбросов, окаймляющих грабен, показывает, что становление массива произошло после образования грабена, то есть, в раннемеловую эпоху. В этот же период произошло становление и других гранодиоритовых массивов. Несколько ранее них интрузировали кварцевые диориты и диориты, слагающие Мостолканские тела.

Магматическая деятельность в позднемеловое время нача-

лась с образования вулканогенных пород нитканской свиты и завершилась становлением интрузий аляскитовых гранитов.

После этого, по мнению А.П.Барановой (I), продолжалось формирование горного рельефа и развитие древней речной сети. Начиная с позднего плейстоцена и по настоящее время преобладали восходящие вертикальные движения, на фоне которых создавался современный рельеф.

ГЕОМОРФОЛОГИЯ

Большая часть района относится к отрогам Сунтарского хребта, в пределах которого развит массивный и альпийский высокогорный рельеф. Левобережье р.Халы принадлежит Идомо-Малскому на-горью и характеризуется среднегорным рельефом.

Альпийское высокогорье известно в пределах участков, сложенных интрузивными и контактово-метаморфизованными породами. Наиболее крупным из них, площадью около 200 км^2 , является междуречье Долгучан и Халы. Меньше по размерам участки до 100 км^2 расположены в бассейнах ручьев Мал.Кидерики, Гельды, Весеннего и Эмкырчана. В пределах альпийского высокогорья абсолютные отметки водоразделов достигают 2456 м, а относительные превышения колеблются от 900 до 1300 м. Водоразделы представляют собой узкие скалистые гребни. Здесь широко развиты цирки и кары. Слоны водоразделов крутые, до 40° . Из них развиваются процессы камнепадного и осыпного, реже делювиально-солифлюкционного сноса. На геоморфологической схеме площади альпийского высокогорья подчеркиваются наличием каров и скалистых водоразделов (рис.3).

Массивное высокогорье занимает остальную часть района, севернее долины р.Халы. Оно характеризуется различными по форме водоразделами, от узких гребневидных до широких и слаженных с абсолютными отметками 1800–2100 м и относительными превышениями 700–1100 м. Вершины с максимальными абсолютными отметками в осадочных породах иногда приурочены к мульдам синклиналей. Здесь наблюдаются структурные поверхности, представляющие собой площадки, бронированные горизонтально залегающими пластами плотных песчаников. Водоразделы имеют сравнительно крутые (до 35°) склоны, на которых преимущественно развиты процессы делювиально-солифлюкционного и делювиально-осыпного сноса. В пределах альпийского и массивного высокогорья основные реки имеют прогловые долины.

Среднегорье отмечается на левобережье р.Халы (см.рис.3).



Рис.3. Геоморфологическая схема

На схеме буквами обозначены: А - альпинотипное и массивное высокогорье, Б - среднегорье; 1 - граница между высокогорьем и среднегорьем; 2 - цирки и кары; 3 - скалистые водоразделы; 4 - гребневидные водоразделы; 5 - структурные поверхности, образованные горизонтально залягющими пластами плотных песчаников; 6 - каньоны; 7- V-образные долины; 8 - поймы и надпойменные террасы; 9 - долины и низкие водоразделы обработанные ледником последнего оледенения; 10 - реликты древних трогов; II - выровненные поверхности 1600-1800 м уровня

Оно характеризуется обычно пологими и широкими водоразделами, пониженными до отметок 1500-1700 м. Относительные превышения колеблются здесь от 400 до 600 м. На пологих и сглаженных склонах преобладают процессы элювиально-солифлюкционного сноса. Долины ручьев в пределах среднегорья имеют V или U-образную формы.

Большинство исследователей выделяют в районе следы двух оледенений. Более раннее из них имело полупокровный характер, последующее было горно-долинным. Каже описываемого района, в бассейне р. Аллах-Ань, С.В. Домохотов (4) вслед за Ю.А. Билибина выделял три оледенения. Наиболее раннее из них имело покровный характер. Возможно, это оледенение и имело место в районе, но следов его не установлено.

К результатам деятельности более раннего оледенения относятся два уровня поверхностей выравнивания: 1600-1800 м и 1400-1500 м (см. рис.3). Они представляют собой почти горизонтальные площадки размером 0,5-0,8 х 1,6 км, покрытые элювиально-делювиальными развалами местных пород, содержащими эвратические валуны изверженных пород. Нижняя поверхность, вероятно, представляет собой реликты днищ древних трогов, а верхняя явилась результатом экзарационной обработки плоских водоразделов.

Источники питания горно-долинных ледников располагались к востоку от границ района. Часть из них была непосредственно на описываемой площади. Воздействием этого оледенения обусловлены троговые формы долин главных рек Тыры, Долгучан, Халы и наиболее крупных их притоков, образованы многочисленные моренные холмы в этих долинах и сглаженные склоны водоразделов в приусадебных частях ручьев Моут, Хамын, Хогончан. Свидетелями местного оледенения являются хорошо сохранившиеся цирки и кары на всех участках альпийского высокогорья (см. рис.3).

Речная сеть района является чрезвычайно разветвленной. Подавляющее большинство водотоков имеет поперечное направление по отношению к геологическим структурам. Только в некоторых случаях наблюдаются совпадения. Так, участки долин рек Халы, Долгучана и Тыры северо-восточного простирания совпадают с направлением проходящих здесь разломов. Долина руч. Моут повторяет очертания Моутской синклинали.

В большинстве случаев долины водотоков интенсивно врезаны в коренные породы. Глубина каньонов, особенно у второстепенных водотоков, увеличивается с востока на запад от первых метров до 100 м. В этом же направлении происходит некоторое уменьшение

ширины долин рек Тыры и Долгучана с одновременным увеличением крутизны их склонов.

В долинах рек района установлено четыре уровня террас: 3-5 м, 8-15 м, 20-25 м и 30-35 м. Все они, за исключением последней, покрыты аллювием мощностью от 1 до 8 м. Террасы низкого уровня развиты повсеместно в долинах крупных рек и их притоках. В более мелких водотоках они наблюдаются в виде отдельных остатков. Террасы 20-25 м и 30-35 м уровня известны только в долинах наиболее крупных рек. Последняя терраса представляет собой остатки днища трога долинного ледника. Она имеет моренно-холмистый рельеф.

Вдоль западной границы района установлены, вероятно, реликты древней долины меридионального простирания. Здесь на пологих водоразделах рек Халый, Долгучана и Тыры, а далее к северу, в водораздельных частях ручьев Курум, Мал. и Бол.Кидерики, отмечаются ровные площадки от 0,5 до 70 км² (рис.3). В настоящее время они сложены продуктами последнего оледенения. Все площадки расположены в полосе меридионального простирания, на северном продолжении долины руч.Ырчах, правого притока р.Аллах-Инь. Долина р.Халый в этом месте также, видимо, была меридионального направления, так как сразу же к западу от полосы она резко поворачивает к северо-востоку и врезается в коренные породы, образуя каньон.

Таким образом, в создании современного рельефа большую роль играли новейшие тектонические движения. Ледниковые и эрозионные процессы придали рельефу современный облик.

Остатками наиболее древней в районе, среднеплейстоценовой, по мнению А.П.Барановой (1) поверхности являются, по-видимому, поверхности выравнивания 1600-1800 м уровня. В это время для района был характерен слабо расчлененный выровненный рельеф. Направление основных рек в это время было продольным по отношению к геологическим структурам. На границе среднего и позднего плеистоцена, как предполагала А.П.Баранова (1), начались восходящие вертикальные движения, которые продолжались до настоящего времени. Возможно с этого времени начался процесс перераспределения речной сети. Он был длительным и в основном закончился ко второй половине среднечетвертичного времени, времени первого оледенения. Продолжавшиеся после этого восходящие движения, амплитуда которых, по мнению И.А.Резанова (7) достигает 2000 м, способствовали выработке глубоко врезанных, широких долин. Позднедолинное оледенение в конце позднечетвертичного времени извело моделировку склонов этих долин и выпахивание или частич-

ное перекрытие накопленного в них материала. На продолжающееся воздымание района в настоящее время указывает интенсивное врезание рек с образованием многочисленных водопадов и глубоких каньонов. На фоне общего воздымания западная часть поднимается быстрее восточной.

ПОЛЕЗНЫЕ ИСКОПАЕМЫЕ

В районе установлено крупное Нежданинское золоторудное месторождение. В пределах рудного поля месторождения, по ручьям Зимовью и Мал.Кидерики выявлены две непромышленные россыпи золота. На южном фланге рудного поля известно несколько небольших золоторудных проявлений. В верховых руч.Хогончан, на руч.Албын установлено рудопроявление золота в кварцевых жилах с сульфида-ми.

Кроме того, в районе выявлены рудопроявления полиметаллических руд, мышьяка, олова, вольфрама и флюорита. Особенно широко распространены полиметаллические руды. Они концентрируются в основном на трех участках: в верховых руч.Хогончан, в бассейне руч.Астрочан и вокруг Средне-Халынского массива. Рудопроявления вольфрама локализуются в поле kontaktово-метаморфизованных пород в бассейне руч.Ветвистого.

Рудопроявления олова, молибдена и флюорита, а также полиметаллические руды в бассейнах ручьев Хогончана и Астрочана имеют, видимо, позднемеловой возраст, так как они связаны с интрузиями аляскитовых гранитов того же возраста. Остальные проявления полиметаллических руд и рудопроявления вольфрама, вероятно, были образованы в раннемеловое время, на что указывает их связь с раннемеловыми гранитоидами. Видимо, такой же возраст имеют руды Нежданинского месторождения и расположенных южнее проявлений золота, предположительное образование которых М.К.Силичев (39) связывал с формированием Мостолканских тел.

МЕТАЛЛИЧЕСКИЕ ИСКОПАЕМЫЕ

Цветные металлы

Полиметаллические руды

Проявления полиметаллических руд выявлены в полях kontaktово-метаморфизованных пород вблизи интрузий аляскитовых гранитов позднемелового возраста, возле гранодиоритовых массивов

раннемелового возраста и над невскрытыми интрузиями. Первые из них концентрируются в верховьях ручьев Хогончана и Весеннего и в бассейне руч. Астрочана, вторые отмечаются около Средне-Халынского массива и третья установлены в бассейне ручьев Таборного и Оксе. На последних двух участках полиметаллические руды имеют близкий минеральный состав и слагают сходные по морфологии рудные тела. Это позволяет условно предполагать, что рудопроявления на третьем участке также связаны с интрузиями раннемелового возраста, не выходящими на дневную поверхность.

Приводимая ниже характеристика рудопроявлений начинается с описания полиметаллических руд, распространенных вблизи позднемеловых интрузий.

Наибольшего внимания из них заслуживают рудопроявления, находящиеся в верховьях руч. Хогончан (29, 30). Они установлены в береговом обрыве этого ручья в 700 м друг от друга и в русле его левого притока, руч. Кубас (28). Сульфиды локализуются здесь в кварцевых жилах, приуроченных к разрывам широтного простирания. Кварцевые жилы имеют мощность от 0,4 до 1,8 м и содержат мелкую вкрапленность галенита, сфалерита и арсенопирита. В лежачем боку одной из жил выявлена линза массивной руды (28) с содержанием сульфидов до 70%. Максимальная мощность линзы 1,2 м, длина ее достигает 6 м. Из сульфидов в линзе преобладают галенит и сфалерит, реже встречаются пирит и сульфосоли свинца и серебра. Максимальные содержания свинца и цинка во вкрапленных рудах по результатам химического анализа составляют соответственно 3,6 и 4%. Здесь же пробирный анализ дает содержание золота до 0,2 г/т и серебра до 72 г/т. В массивных рудах увеличивается содержание золота до 2 г/т и серебра до 270 г/т. В этих же рудах содержание олова достигает 0,11%.

Проявления полиметаллических руд на этом участке обнаружены также в ручьях Случайном (20), Весеннем (31) и Ветвистом (23). Кварцевые жилы в руч. Случайном имеют мощность до 0,5 м, их протяженность достигает до 20 м. На руч. Весеннем аналогичные кварцевые жилы прослежены на 50 м. В кварце наблюдается редкая вкрапленность, иногда прожилки галенита, сфалерита и пирита. Вероятно, из жил аналогичного состава были образованы элювиальные развалы в бассейне руч. Ветвистого.

В бассейне руч. Астрочан кварцевые жилы с полиметаллическим оруднением локализуются в трещинах широтного простирания. Они рассекают роговики, образованные по песчано-сланцевым породам нижнеюрского возраста. Кварцевые жилы с сульфидами обнажаются в русле руч. Астрочан (40, 42) на расстоянии 200–400 м друг от

друга и в русле его правого притока руч. Быстрем (46). Кварцевые жилы имеют мощность от 0,5 до 3 м и прослежены на руч. Астрочане до 150 м, а на руч. Быстрем на 15 м. Сульфиды в кварце образуют вкрапленность и редко прожилки. В одном из рудопроявлений на руч. Астрочан (42) в кварцевой жиле обнаружено гнездо массивных руд, имеющее в диаметре 0,5 м. Среди сульфидов преобладают галенит и сфалерит, реже встречаются арсенопирит, халькопирит и сульфосоли свинца и серебра. По данным химического анализа штучных проб из рудопроявлений руч. Астрочан в массивных рудах содержится 9,43% свинца, 9,35% цинка, 0,22% олова, 0,3 г/т золота и 74 г/т серебра. Во вкрапленных рудах количество свинца уменьшается до 2,62%, цинка до 1,37%, содержание золота увеличивается до 0,4 г/м и серебра до 194 г/м.

В правом борту руч. Астрочан (41) галенит и сфалерит образуют мелкую вкрапленность в ороговикованных алевролитах в виде гнезда диаметром до 1 м.

В этом же поле роговиков полиметаллические руды установлены на руч. Дальнем (47) и в верховьях руч. Хаганчан (48). На руч. Дальнем они локализованы в маломощных кварцевых прожилках, а в верховьях руч. Хогончан представлены элювиальным развалом глыб, сложенных галенитом, сфалеритом и пирротином.

Полиметаллические руды, расположенные в эндо- и экзоконтакте Средне-Халынского массива чаще всего приурочены к разрывам широтного или северо-восточного простираний. Наиболее крупное из этих рудопроявлений обнажается в левом борту руч. Бурого (36). Оно расположено в полосе раздробленных роговиков мощностью до 20 м. В центральной части ее мощностью в 2 м обломки сцементированы кварцем. В кварце и на границе его с обломками вмещающих пород наблюдаются прожилково-вкрапленные выделения сульфидов, иногда образующие гнезда массивных руд диаметром до 0,3 м. Среди них преобладают галенит и сфалерит. Реже встречаются пирит, халькопирит и арсенопирит. В рудах установлено содержание золота до 0,5 г/т и серебра до 540 г/т.

Рудопроявления на руч. Темном (26) и в водораздельной части ручьев Айхал и Лагерный (37) находятся в зонах брекчирования и сложены прожилково-вкрапленными рудами с галенитом, сфалеритом и пиритом. В последнем рудопроявлении установлено содержание золота в 0,3 г/т и серебра в 290 г/т.

В рудопроявлении на руч. Оксе (18) зона брекчирования мощностью до 5 м прослежена на 20 м. Среди сульфидов здесь преобладают галенит и сфалерит, реже встречаются пирит, пирротин и халькопирит. Максимальные содержания свинца и цинка по данным

химического анализа составляют соответственно 7,84 и 9,60%. Наряду с ними всегда присутствует серебро в количествах от 46 до 81 г/т.

В роговиках, обнажающихся в русле руч. Третьего (38) сульфиды образуют мелкую вкрапленность. Рудные тела имеют форму линз мощностью от 0,9 до 1,1 м и длиной до 14 м. Из сульфидов преобладает сфалерит. Реже наблюдаются пирротин, халькопирит и галенит.

Мышьяк

Крупное рудопроявление мышьяка, расположенное вблизи устья руч. Кыгыл-Тас, правого притока р. Тыры (15) приурочено к южному крылу Кыгыл-Тасского разлома. Здесь на площади размером 3х0,5 км, вытянутой параллельно разлому, краевыми разведаны 40 кварцевых жил с арсенопиритом. Простирание их совпадает с простиранием Кыгыл-Тасского разлома, падение жил близко к вертикальному. Мощность кварцевых жил колеблется от 0,2 до 0,3 м, протяженность их составляет 50-70 м. В редких случаях жилы достигают 150 м длины и 1,5 м мощности.

Количество арсенопирита в жилах колеблется от первых процентов до 70-80% объема жилы. Редко встречаются кварцевые жилы сложного состава мощностью 0,1-0,6 м, в которых, наряду с арсенопиритом, в меньших количествах содержатся галенит, сфалерит, халькопирит и очень редко стannин и кассiterит. Содержание сульфидов в этих телах не превышает 10-15%. В кварцевых жилах с арсенопиритом содержание мышьяка по химическим анализам бороздовых проб колеблется от 0,36 до 43,71%. В жилах более сложного состава содержание мышьяка составляет 1,76%, свинца - 1,23-7,02%, цинка - 1,23-3,47%, олова - 0,1-2%, серебра - до 490,8 г/т, золота - 0,2 г/т.

Небольшие проявления мышьяка отмечены в приуставной части рч. Эмкырчан (32, 33) в аляскитовых гранитах. Они сложены маломощными, до 3 см, прожилками кварца с редкой вкрапленностью арсенопирита. Эти проявления имеют лишь минералогический интерес.

Олово

Рудопроявления олова известны только в бассейнах ручьев Астрочан и Хербак.

Астрочанскоe рудопроявление (44) расположено в поле kontaktово-метаморфизованных пород и приурочено к зоне дробления субширотного простирания мощностью 5-6 м. Зона насыщена тонкими, до 1 см, кварцевыми прожилками с арсенопиритом. Зерна кассiterита величиной до 3 мм обычно выделяются в периферических частях прожилков. Содержание олова по штрафным пробам в единичных случаях достигает 1,68%. Кроме того, в пробе, место взятия которой не удалось выяснить, содержание олова достигает 11%. В делювальных отложениях правого склона руч. Астрочан, в приуставной его части, были выявлены высокие до 40 кг/м³, содержания кассiterита и шеелита (до 22 кг/м³).

Рудопроявление олова на руч. Хербак (49) приурочено к зоне передробленных роговиков мощностью до 5 м, падающей на юго-запад под углами 50-60° и сложенной обломками вмещающих пород, сцементированных кварцем. В кварце изредка встречается пирит и очень редко мелкие зерна кассiterита. Руды на олово не анализировались.

В районе установлены два шлиховых ореола рассеяния кассiterита с незначительной примесью шеелита и вольфрамита. Эти ореолы расположены возле Хогончанского (19) и Эмкырчанского (27) массивов аляскитовых гранитов. Максимальные содержания кассiterита здесь достигают 285 г/м³, шеелита - до 60 г/м³, вольфрамит встречается в единичных зернах. Шеелит и вольфрамит обычно наблюдаются в периферических частях этих ореолов.

Благородные металлы

Золото

Нежданинское месторождение расположено в бассейне р. Мал. Кидерики, правого притока р. Тыры. Оно относится к малосульфидному типу кварц-золоторудной формации. Описание месторождения приводится по материалам М.К. Силичева и Н.В. Белозерцевой (32).

Месторождение расположено в ядре Дыбинской антиклинали, сложенном глинистыми сланцами и алевролитами джультагинской и дыбинской свит. Из интрузивных пород в рудном поле установлены дорудные дайки лампрофиров и диоритовых порфиритов.

Рудовмещающими структурами являются меридиональные зоны дробления и окварцевания, названные Нежданинской системой разрывов (рис.4). Они круто (70-85°) падают к западу и имеют мощность от 2 до 38 м. Промышленное оруденение установлено в перв-

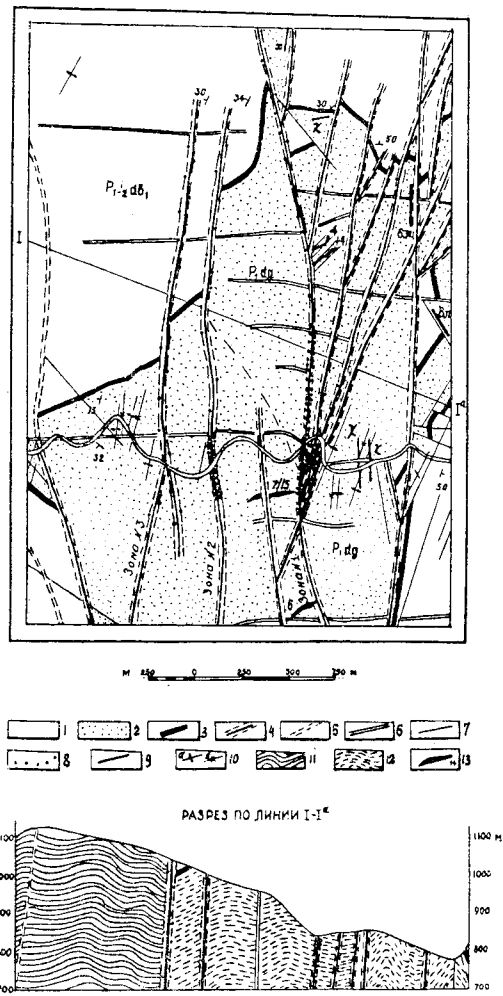


Рис.4. Схематическая геолого-структурная карта и разрез Нежданинского месторождения
(по М.К.Силичеву)

1 - отложения дыбинской свиты; 2 - отложения джутагинской свиты; 3 - маркирующий пласт песчаника. Нежданинская система разрывов; 4 - окварцованные зоны смятия; 5 - брекчированные зоны с кварцевым цементом; 6 - слабо минерализованные зоны повышенной трещиноватости; 7 - тектонические трещины с притертymi плоскостями; 8 - интервалы проявления сульфидной минерализации; 9 - дайки керсантитов и диоритовых порфиритов; 10 - оси мелких складок (а - антиклинальных, б - синклинальных); свиты на разрезе I-I': II - дыбинская; I2 - джутагинская; 13 - кварцевые жилы и их номера

вой и второй рудной зонах. Богатое золотое оруденение отмечается также в кварцевых жилах № 4, 7/15, I4, приуроченных к трещинам оперяющим первую зону. В первой зоне руды с промышленным содержанием золота прослежены штольнями на 3,4 км, наземными выработками на 6 км. По вертикали оруденение изучено на 500 м. Во второй зоне промышленное оруденение прослежено канавами на 250 м. В жиле № 7/15 мощностью от 0,3 до 2 м промышленные руды установлены в штольне на расстоянии 350 м. В жилах № 4 и I4 мощностью от 0,4 до 1 м оно прослежено канавами на 100 м.

Основные запасы металла на месторождении содержатся в первой рудной зоне. Она сложена передробленными и перетертыми вмещающими породами, неравномерно окварцованными и минерализованными различными сульфидами и золотом. Кварц образует густую сеть прожилков, неправильной формы тела, линзы или жилы мощностью от долей сантиметров до 3 м и протяженностью до 50 м.

Контуры промышленных блоков не имеют четких геологических границ и выделяются только по результатам опробования.

Главным жильным минералом является кварц, редко встречаются кальцит, анкерит, альбит, серцицит. Рудные минералы, арсенопирит, сфалерит, галенит и тетраэдрит содержатся в количестве от 1 до 5%. Менее распространены халькопирит, буланжерит, теннантит, джемсонит, золото. Из числа супергенных минералов наиболее распространены гидроокислы железа, церуссит, ковеллин и скородит. Всего в составе руд установлено около 60 минералов.

На месторождении М.К.Силичевым (32) выделено три стадии минералообразования: дорудная, рудная и пострудная. В первую стадию были образованы прожилки серцицит-карбонатного и полевошпат-кварцевого состава, а также возникла пирит-арсенопиритовая тонкая вкрашенность в ореоле измененных пород. Рудная стадия подразделяется на три подстадии. В раннюю подстадию произошло образование основной массы жильного кварца с пиритом и арсенопиритом. В среднюю подстадию отлагалась основная масса сульфидов. В нее входят сфалерит, галенит, тетраэдрит, теннантит. Вместе с ними выделялось ранее высокопробное (828) золото. В позднюю подстадию была образована большая часть сульфосолей свинца и серебра и позднее серебристое золото (проба 743). В пострудную стадию минералообразования произошло выделение безрудного кварца.

В рудном поле Нежданинского месторождения отмечается обратная минералогическая зональность. Она выражается в том, что ранние минеральные ассоциации (пирит, арсенопирит) развиты на

всей территории рудного поля и на всех разведанных горизонтах, а наиболее поздние (сульфоантимониты) - располагаются на нижних горизонтах. Кроме того, затухание поздней минерализации по восстанию происходит интенсивнее ранней. Так, по результатам спектрального анализа рудных проб среднее содержание мышьяка на самых низких горизонтах составляет 0,4%, на средних - 0,28% и на поверхности, в неизмененных рудах - 0,26%. Соответственно содержания сурьмы составляют (в %) - 0,02I; 0,02 и 0,00I, а серебра - 0,003I; 0,0016 и 0,00030.

Исходя из установленной на месторождении зональности, М.К.Силичев (32) предполагает, что содержание золота не будет уменьшаться с глубиной. До некоторой степени это предположение подтверждается результатами бурения. В скважине, пробуренной по зоне № I от уровня русла руч.Мал.Кидерики, на глубине 240 м в образцах обнаружено видимое золото.

В вопросе о генезисе месторождения М.К.Силичев отдает предпочтение гипотезе о генетической или парагенетической связи его с раннемеловыми диоритами, слагающими Мостолканские тела.

На юном фланге Нежданинского рудного поля установлено несколько золоторудных проявлений. Рудопроявления располагаются по руч.Кварцевому (I0), на левом берегу р.Тыры (II) и на руч. Гельды (I2). Все они разведаны канавами и опробованы бороздовым способом.

Рудопроявления также находятся в ядре Дыбинской антиклинали и локализованы в разрывах северо-западного простирия, которые сложены перемятыми и раздробленными алевролитами, сцепментированными кварцем. Иногда здесь развиты кварцевые жилы мощностью от 0,1 до 1 м, расположенные кулисообразно. Мощность зон колеблется от 10 до 70 м, а протяженность их достигает 200 м. Сульфиды образуют вкрапленность, а иногда короткие мало-мощные прожилки в кварце. Среди них преобладают пирит, арсенопирит, галенит, сфалерит, реже встречается буланжерит. Проявления охарактеризованы I39 бороздовыми пробами. Из этого количества в 12 пробах содержание золота составляет больше 4 г/т, в 18 пробах оно колеблется от 1 до 4 г/т. В двух случаях содержание золота достигает 8,3 г/т.

Рудопроявление золота сульфидной формации установлено на руч.Албын, правом притоке руч.Хогончан (24). Оно приурочено к разрыву, рассекающему не только осадочные породы, но и нижнемеловые вулканогенные образования. Непосредственно оно расположено вдоль контакта между отложениями верхнего триаса и нижне-

меловыми вулканогенными породами. Здесь, на левом склоне руч. Албын, вдоль зоны брекчирования мощностью 15 м установлено четыре жильных тела мощностью от 0,2 до 3 м и протяженностью от 30 до 40 м. Они сложены брекчияй алевролитов, сцепментированных кварцем с сульфидами. Содержание сульфидов колеблется от первых процентов до 70-80%. Текстуры руд брекчевые и прожилково-вкрапленные. Из сульфидов преобладает пирит, часто встречаются галенит и сфалерит и реже - халькопирит, пирротин и блеклая руда. Золото наблюдается обычно в срастаниях с галенитом, сфалеритом и пиритом. Величина отдельных его зерен редко достигает 0,2-0,3 мм.

По результатам пробирного анализа штуфных проб, отобранных в 1966 г., содержание золота составило от 3,3 до 264 г/т. Бороздовое опробование, проведенное по канавам (4I пробы) в 1967 г. показало содержание золота в одной пробе I3,5 г/т, а в остальных - от следов до 0,6 г/т. Руды проявления характеризуются высоким содержанием серебра от 23I,0 до I390 г/т.

Две непромышленные россыпи золота установлены вблизи Нежданинского золоторудного месторождения.

Россыпь руч. Зимовье (I) имеет общую длину около 2700 м и ширину до 10 м. Мощность аллювия колеблется от 1,5 до 5 м. Содержание золота изменяется от знаков до 0,15-1,5 г/м³ на пласт мощностью 1,4-2,4 м.

В долине руч. Мал. Кидерики (3) россыпь имеет длину 2400 м, ширина ее колеблется от 20 до 50 м. Мощность торфов 0,6-5,6 м, песков - 0,2-2,8 м. Содержание золота колеблется от знаков до 1 г/м³ на пласт мощностью от 0,2 до 1 м. В одной пробе содержание золота достигает 15,2 г/м³ на пласт мощностью 0,2 м.

В этом же районе золото образует шлиховой ореол (4), площадь которого располагается в пределах рудного поля месторождения, выходя за его границы в южной части.

Кроме того, знаки золота установлены в аллювии бассейна руч.Бетвистого и по ручьям Неоргань, Эмкырчан, Хаман, Хербак, Хеатанджа.

Редкие металлы

Вольфрам

Рудопроявления вольфрама локализуются в ореоле контакто-метаморфизованных пород, установленном в бассейне руч.Бетвистого и в истоках руч.Курум. С поверхности они разведаны горны-

ми выработками. Рудопроявления приурочены к своду Керехтяхской антиклинали, осложненной разрывами северо-восточного простирания.

Вдоль этих разрывов, в бассейне ручьев Одинокого (7), Тарына (8) и Верного (9) локализуются кварцевые жилы и прожилки мощностью до 5 м и протяженностью 100–200 м. Кварцевые жилы содержат обломки роговиков и вкрапленность вольфрамита и шеелита. Реже в них встречаются пирит, пирротин, арсенопирит, галенит и сфалерит. В единичных случаях отмечается кассiterит. Содержание трехокиси вольфрама по результатам химического анализа бороздовых проб достигает 5%. В верховых руч. Курум (5) к разрывам северо-восточного простирания приурочены линзы вкрапленных руд в роговиках. Мощность линз колеблется от 0,4 до 0,7 м, длина их до 11 м. В этих телах установлена тонкая вкрапленность пирротина, халькопирита, пирита и реже шеелита. Содержание трехокиси вольфрама по результатам бороздового опробования достигает 0,94%.

Небольшое по масштабам рудопроявление вольфрама известно в приусьевой части руч. Хаман (39). Здесь в береговом обрыве высотой 2–3 м наблюдается редкая сеть маломощных (первые сантиметры) кварцевых прожилков с вольфрамитом, шеелитом, галенитом. В них установлено содержание трехокиси вольфрама – 0,95% и серебра – 183,2 г/т.

Шлиховые ореолы рассеяния шеелита и вольфрамита, иногда с незначительным содержанием кассiterита находятся в полях контактово-метаморфизованных пород или окружают Средне-Халынский массив гранодиоритов.

Шлиховой ореол в бассейне руч. Ветвистого (6) включает известные здесь рудопроявления вольфрама. Содержание вольфрамита и шеелита в шлихах достигает 150 г/м³, а кассiterита – до 50 г/м³. В бассейне руч. Весеннего (16) в шлиховом ореоле в отдельных пробах количество шеелита поднимается до 100 г/м³. В ореоле окружающем Средне-Халынский массив (25), содержание шеелита в аллювиальных отложениях достигает 25 г/м³. В центральной части этого ореола в шлиховых пробах отмечается невысокое – до 2 г/м³ количество кассiterита. Шлиховые ореолы вольфрамита и шеелита в бассейне руч. Мостолкан (13) и в среднем течении р. Тыры (14) характеризуются знаковыми содержаниями этих минералов в шлиховых пробах. Изредка в них отмечаются знаки кассiterита.

Молибден

Рудопроявления молибдена развиты в приконтактовых частях интрузий аляскитовых гранитов позднемелового возраста и представлены кварцевыми жилами и прожилками с молибденитом.

В верховых руч. Случайного (21, 22) в аляскитовых гранитах Хогончанского массива отмечены кварцевые прожилки мощностью от 0,1–0,7 м и протяженностью до 10 м, содержащие редкую вкрапленность крупночешуйчатого (1x2 см) молибденита.

В верховых руч. Астрочан (44) среди контактово-метаморфизованных пород, в зоне шириной 1–3 м развиты маломощные кварцевые прожилки с молибденитом мощностью до 10–15 см. Простижение их 50–60°, падение вертикальное. Молибденит представлен редкими мелкими (0,2–0,3 см) чешуйками, находящимися преимущественно в зальбандах прожилков.

Маломощные кварцевые прожилки с молибденитом отмечались в Хербакском и Курумском интрузивах.

Все проявления молибдена представляют только минералогический интерес.

НЕМЕТАЛЛИЧЕСКИЕ ИСКОПАЕМЫЕ

Химическое сырье

Флюорит

Флюоритовая минерализация приурочена к маломощным зонам дробления в аляскитовых гранитах или вблизи них и представлена кварцевыми прожилками с флюоритом.

В Эмкырчанском массиве (34) в зоне дробления северо-восточного простирания мощностью 0,2 м встречены кварцевые прожилки с флюоритом мощностью 1–3 см.

В руч. Астрочан сеть кварцевых прожилков с флюоритом локализуется в зоне дробления мощностью до 1 м, имеющей северо-восточное простижение и крутые (40–85°) падение к северо-западу. По простижению зона прослежена на 15 м.

Количество флюорита в прожилках редко достигает нескольких процентов, поэтому практического интереса эти проявления не представляют.

СТРОИТЕЛЬНЫЕ МАТЕРИАЛЫ

Специальные исследования на строительные материалы в районе не проводились. Интрузивные породы и галечники из аллювия крупных рек, запасы которых в районе практически неограничены, могут быть использованы в качестве бутового материала и щебня для заполнителей бетона. Глинистые сланцы из нижнепермских отложений, возможно, будут служить источником для получения керамзита.

ПОДЗЕМНЫЕ ВОДЫ

Исследованный район расположен в области многолетней мерзлоты. Мощность мерзлых пород, по данным бурения в долине руч. Мал.Кидерики, составляет 105 м. При проходке штолен на Нежданинском месторождении установлено, что подошва слоя многолетней мерзлоты грубо повторяет дневную поверхность и в зависимости от экспозиции склонов меняется от 170–180 м (склон южной экспозиции) до 200–210 м (склон северной экспозиции). Величина геотермической ступени по замерам в штолне № 1 (правый борт руч. Мал.Кидерики) составляет 29,5 м, а в штолне № 7 (левый борт того же ручья) – 40,6 м.

В районе известны воды надмерзлотного и подмерзлотного типов.

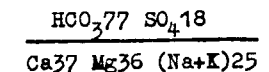
Надмерзлотные воды приурочены к деятельности слоя. По геоморфологическим, гидрогеологическим и геокриологическим условиям среди них выделяются следующие подтипы (по А.И.Калабину): водораздельный и воды надмерзлотных таликов.

Воды деятельного слоя водоразделов в районе широко развиты в элювиально-делювиальных отложениях и в верхних трещиноватых зонах осадочных и изверженных пород. Мощность водоносного горизонта определяется глубиной сезонного протаивания грунтов и обычно не превышает 1–2 м. Питание этих вод происходит за счет инфильтрации атмосферных осадков и в меньшей степени за счет конденсации паров на границе пород отрицательных и положительных температур. Продолжительность существования жидкой фазы ограничивается 4–5 месяцами (конец мая – половина октября). Источником питания являются сезонные воды, с непостоянным дебитом, резко увеличивающимся на короткое время после выпадения атмосферных осадков. Выходы их наблюдаются у подножья крутых склонов, подошвы осыпей.

Воды деятельного слоя водоразделов не могут служить целям водоснабжения из-за незначительного, обычно десятые доли литра в секунду, дебита.

По химическому составу воды отличаются однообразием и относятся к гидрокарбонатно-кальциевым, по степени минерализации к ультрапресным и пресным.

Ниже приводятся химический анализ воды описанного подтипа (правобережье р.Тыры, руч.Кварцевый, 8 августа 1968 г., $t = 3,5^{\circ}\text{C}$). Вода прозрачная, без запаха и вкуса, без осадков, $\text{pH} = 7,4$, содержит (в мг/л): катионы: $\text{Na}+\text{K}^-$ – 5,98; Ca^{2+} – 7,82; Mg^{2+} – 7,62; NH_4^+ – 0,1; анионы: NO_2^- – 0,01; HCO_3^- – 48,8; SO_4^{2-} – 9,0; Cl^- – 1,4. CO_2 агрессивная – 1,81. Общая жесткость – 2,16 H° .
Формула Курлова



Карбонатная жесткость – 1,1 H° .

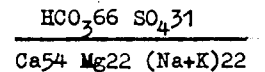
Воды надмерзлотных таликов развиты в пределах поймы и I надпойменной террасы наиболее крупных рек Тыры и Халыя. Коллектором для этих вод служат гравийно-галечниковые отложения. Мощность талых пород по результатам геофизических работ и замерам в гидрогеологических скважинах достигает 90 м. Питание водоносного горизонта происходит за счет напорных подмерзлотных вод, приуроченных к зонам разломов, и инфильтрации поверхностных вод и атмосферных осадков. Продолжительность существования круглогодичная.

Статические уровни водоносного горизонта грубо согласуются с уровнем р.Тыры, резко повышаясь при выпадении атмосферных осадков.

Естественные ресурсы и эксплуатационные возможности горизонта значительны, на что указывают стабильные источники питания, большая мощность водовмещающих пород и их хорошая водопроводимость. При пробной откачке из скважины на правом берегу р.Тыры в районе пос.Нежданинский, дебит составил 4,5 л/с. Следует отметить, что по техническим возможностям максимальный дебит достигнут не был.

По химическому составу воды относятся к гидрокарбонатно-сульфатным кальциево-магниевым, по степени минерализации – к пресным. Химический анализ воды (скв.3, правобережье р.Тыры вблизи устья руч.Мал.Кидерики, 25 декабря 1968 г., вода прозрачная, без вкуса, запаха и без осадков; $\text{pH} = 7,0$) характеризуется

следующими показателями (в мг/л): катионы: Na^+ -К - II,04; Ca - 23,05; Mg - 5,84. Анионы: HCO_3^- - 85,4; SO_4^{2-} - 40,0; Cl^- - I,4. CO_2 агрессивная - 2,72. Общая жесткость - 4,57 H^0 , формула Курлова:



Карбонатная жесткость - 3,93 H^0 .

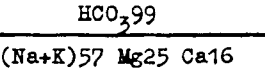
Вода надмерзлотных таликов при необходимости могут удовлетворить потребности в водоснабжении крупного промышленно-хозяйственного предприятия.

Подземные золотые воды описываемой территории относятся к трещинным и трещинно-жильным. Водоносный горизонт характеризуемого типа вод встречен в подземной выработке на глубине 190-210 м. Кроме того, о наличии этих вод свидетельствует ряд наледей, видимо, формирующихся за счет подмерзлотных вод, так как они располагаются возле разломов. Основные наледи расположены в русле р.Халын вблизи устья ручьев Хогончан и Джотыскан. Они имеют площадь соответственно $4,5 \text{ km}^2$ и $1,5 \text{ km}^2$. На р.Тыры выше устья руч.Мал.Кидерики известна наледь площадью в $2,5 \text{ km}^2$.

Формирование ресурсов водоносного горизонта, по мнению П.Ф.Швецова (8), в основном происходит за пределами района в участках развития островной мерзлоты. Пополнение запасов этих вод возможно и в пределах района там, где крупные водотоки пересекают зоны разломов. Притоки воды в подземных выработках, которые не превышают 1 л/с, а также объемы льда в наледях, свидетельствуют об относительно незначительных естественных ресурсах подмерзлотных вод.

По химическому составу воды относятся к гидрокарбонатным магниево-кальциевым, по степени минерализации - к пресным (0,05-0,09 г/л).

В одном случае, в подземной выработке встречены углекислые воды с повышенной минерализацией и незначительным дебитом. Химический анализ воды (шт. № I/3 сентября 1968 г., вода прозрачная, кисловатого вкуса, имеет запах углекислого газа, $\text{pH} = 6,3$) характеризуется следующими показателями (мг/л), катионы: Na^+ -К - 947,23; Ca - 240,1; Mg - 211,3; Fe^{++} - 0,1. Анионы: HCO_3^- - 4331,0; Cl^- - 15,2; CO_2 агрессивная - 1087,7. Формула Курлова:



Воды ввиду незначительного дебита практического значения в настоящее время не имеют.

ОЦЕНКА ПЕРСПЕКТИВ РАЙОНА

Главные перспективы в районе связаны с Нежданинским золоторудным месторождением, на котором основным рудным телом является зона № I и оперяющие ее жилы. Эти объекты в настоящее время находятся в детальной разведке. Как показали подземные разведочные работы, содержание золота с глубиной не уменьшается как в первой рудной зоне, так и в оперяющих ее жилах. Поэтому прирост запасов несомненно будет связан с дальнейшей разведкой этих рудных тел на глубину.

Наличие небольших непромышленных россыпей в долинах, пересекающих рудное поле месторождения, а также появление промышленного оруденения лишь в более глубоких срезах второй рудной зоны, указывают на незначительный эрозионный срез месторождения. Поэтому можно ожидать, что некоторые из рудных зон, давшие отрицательные результаты при разведке по поверхности, могут стать промышленными на некоторой глубине. Кроме того, с глубиной можно ожидать появления слепых рудных тел. Проведенный на месторождении объем поверхностной разведки нельзя считать достаточным для достоверной оценки перспектив месторождения. По всем указанным причинам можно ожидать значительного увеличения запасов Нежданинского месторождения.

Представляет интерес рудопроявление золота по руч.Албын, где довольно высокие содержания металла были установлены в кварцевых жилах со значительным количеством сульфидов. Локализация этих жил вдоль разлома, окаймляющего Верхне-Халынский грабен, свидетельствует о возможной связи их с вулканогенными породами мелового возраста. Поэтому в дальнейшем можно, вероятно, ожидать выявления эпигермальных месторождений золота в подобных структурах.

Заслуживает дальнейшего более детального изучения рудопроявления вольфрама в бассейне руч.Ветвистого и олова в бассейне руч.Астрочан. Проявления полиметаллических руд в бассейнах ручьев Хогончана и Астрочана должны быть изучены с целью выявления в них повышенных содержаний благородных металлов.

ЛИТЕРАТУРА

Опубликованная

1. Баранова Ю.П., Бискэ С.Ф. Северо-Восток СССР. История развития рельефа Сибири и Дальнего Востока. - Наука, 1964.

2. Гендлер В.Е. О классификации гранитоидов. - Советская геология № 51, 1956.

3. Домохотов С.В. Верхний триас и юра Восточно-го Верхоянья. - Материалы по геологии и полезным ископаемым Северо-Востока СССР, вып. I5. г. Магадан, 1961.

4. Домохотов С.В. Государственная геологическая карта СССР масштаба 1:1 000 000, лист Р-54 (Оймякон). Госгеолтехиздат, 1962.

5. Куплетский В.М. Количественно-минералогический состав гранитоидов. Вопросы минералогии и петрографии, т. I. Изд. АН СССР, 1953.

6. Ларин Н.И. К тектонике Восточного Верхоянья. - Материалы по геологии и полезным ископаемым Северо-Востока, вып. IO. г. Магадан, 1955.

7. Резанов И.А. О новейшей тектонике и сейсмичности Северо-Востока СССР. Бюлл. Совета по сейсмологии, № 10, 1960.

8. Швецов П.Ф. Подземные воды Верхояно-Колымской горно-складчатой области и особенности их проявления, связанные с низкотемпературной вечной мерзлотой. Изд. АН СССР, 1951.

Фондовая

9. Атласов И.П. Геологическое строение и металлическость центральной части Восточного Верхоянья. (Отчет Восточно-Верхоянской экспедиции АНИИ по работам 1938 г.)

10. Базилевский В.М. Отчет о работе Ыт-Юряхской детальной геологопоисковой партии масштаба 1:25 000. 1954.

11. Базилевский В.М. Отчет о работе Лево-Эм-кирчанской поисково-разведочной партии и геофизического отряда масштаба 1:10 000. 1957.

12. Баранов Е.Ф. Отчет о работе Кызыл-Гассинской детальной геологопоисковой партии масштаба 1:25 000. 1952.

13. Бойков Д.Ф. Геология верховий рек Аллах-Ана, Анчи и Халмы. 1936.

14. Булдаков А.С. Отчет о работе Верхне-Тыринского геологопоискового отряда в бассейнах рек Тыры и Дыбы. 1940.

15. Голоперов Н.В., Мусина И.М. Отчет о работе Южно-Курумской геологопоисковой партии масштаба 1:50 000. 1967.

16. Голоперов Н.В., Пономарев Ю.Г. Отчет о работе Астрочанской геологопоисковой партии масштаба 1:50 000. 1968.

17. Гурин Г.Ф. Отчет о работе Дыбинской геологопоисковой партии масштаба 1:100 000. 1952.

18. Гурин Г.Ф. Отчет о работе Эмкирчанской геологопоисковой партии масштаба 1:100 000. 1953.

19. Гуторович Д.И. Отчет об аэромагнитной съемке масштаба 1:50 000, проведенной в Томпонском районе Якутской АССР в 1966 г., 1967.

20. Давыденко С.А. Отчет о работе Рольчанской геологопоисковой партии масштаба 1:100 000. 1957.

21. Домохотов С.В. Информационная записка о результатах полевых работ Верхне-Менкеченской поисково-разведочной экспедиции. 1954.

22. Дорофеев Д.А. Отчет о работе тематической редкометальной партии за 1958-1959 гг. 1964.

23. Зиновьев М.Г. Отчет о работе Малтанской геологопоисковой партии масштаба 1:100 000. 1956.

24. Кирусенко Т.С. Отчет о работе Мало-Кидеринской детальной геологопоисковой партии масштаба 1:25 000. 1953.

25. Кирусенко Т.С. Отчет о работе Лево-Халымской геологопоисковой партии масштаба 1:100 000. 1954.

26. Колонтаевский В.А. Отчет о работе Курумской геологопоисковой партии масштаба 1:50 000. 1968.

27. Ларин Д.И. Отчет о работе Средне-Халымской геологопоисковой партии масштаба 1:100 000. 1954.

28. Моторов В.П. Отчет о поисковых работах в среднем течении р. Халыя. 1964.

29. Носаков В.И. Отчет о гравиметрической съемке масштаба 1:1 000 000 на листе Р-54. 1968.

Приложение I

30. Павлов Г.П., Афанасьев Е.К. Отчет геолого-маршрутной партии по составлению Государственной геологической карты и карты полезных ископаемых листа Р-54-XIV. 1961.

31. Пономарев Ю.Г. Отчет о работе Нежданинской поисково-разведочной партии масштаба 1:10 000. 1957.

32. Силичев М.Н., Белозерцева Н.В. Структура и минералого-геохимические особенности Нежданинского золоторудного месторождения. 1968.

33. Скрипников В.Е., Андриянов Н.Г. Отчет о работе Ветвистой редакционно-вязочной партии масштаба 1:200 000 за 1966-1967 гг. 1968.

34. Советников Г.М. Отчет о работе Нежданинской геологоразведочной партии. 1958.

35. Соловьев В.И., Борисова А.И. Структура и минералогия Нежданинского золоторудного месторождения. 1964.

36. Шапошников К.К. Результаты гравиметрических работ, проведенных в бассейне р.Тыры в 1959 г. 1959.

СПИСОК МАТЕРИАЛОВ, ИСПОЛЬЗОВАННЫХ ДЛЯ СОСТАВЛЕНИЯ
КАРТЫ ПОЛЕЗНЫХ ИСКОПАЕМЫХ МАСШТАБА 1:200 000

№ п/п	Фамилия и инициалы автора	Название работы	Год состав- ления или издания	Местона- хождение материала, его фон- довый № или место издания
				1 2 3 4 5
I	Атласов И.П.	Геологическое строение и металлогения центральной части Восточного Верхоянья	1937-1938	Фонды НГУ ^{Х/}
2	Баранов Б.Ф.	Отчет о работе Кыргыл-Тасской детальной геологопоисковой партии масштаба 1:25 000	1952	№ 472
3	Базилевский В.М.	Отчет о работе Чит-Юряхской детальной геологопоисковой партии масштаба 1:25 000	1954	№ 558
4	Базилевский В.М.	Отчет о работе Кильдеркичской детальной геологопоисковой партии масштаба 1:25 000	1955	№ 677

^{Х/} НГУ - Нынчанское приисковое управление.

^{ХХ/} Материалы, место хранения которых не указано, находятся в фондах Аллах-Динской комплексной экспедиции.

I	2	3	4	5
5	Голоперов Н.В., Мусина П.М.	Отчет о работе Южно-Курумской геологопоисковой партии масштаба I:50 000	1967	№ I298
6	Голоперов Н.В., Пономарев Ю.Г.	Отчет о работе Астречанской геологопоисковой партии масштаба I:50 000	1968	№ I342
7	Гурин Г.Ф.	Отчет Дыбинской геологопоисковой партии масштаба I:100 000 о результатах геологических исследований на Тыры-Дыбинском междуречье	1951	№ 305
8	Гурин Г.Ф.	Отчет о работе Эмкырчанской геологопоисковой партии масштаба I:100 000	1952	№ 434
9	Дорофеев Д.А.	Отчет о работе тематической партии по изучению редких и рассеянных элементов в рудах полиметаллических месторождений Дыбинского и Верхне-Эмкырчанского рудных узлов	1961	
10	Кирусенко Т.С., Теслин А.Ф.	Отчет о работе Мало-Кидерикинской детальной геологопоисковой партии масштаба I:25 000	1952	№ 473

I	2	3	4	5
II	Кирусенко Т.С.	Отчет о работе Лево-Халынской геологопоисковой партии масштаба I:100 000	1953	
I2	Кирусенко Т.С.	Обзор геологического строения и полезных ископаемых Южного Берхоянья	1962	№ 01037
I3	Кирусенко Т.С.	Краткие сведения о россыпной и рудной оловоносности территории деятельности Аллах-Юньской экспедиции	1963	№ 01057
I4	Ларин Д.И.	Отчет о работе Средне-Халынской геологопоисковой партии масштаба I:100 000	1953	№ 489
I5	Колонтаевский В.А.	Отчет о работе Курумской геологопоисковой партии масштаба I:50 000	1968	№ 01329
I6	Павлов Г.Л., Афанасьева Е.К.	Отчет геологомаршрутной партии по составлению геологической карты и карты полезных ископаемых листа Р-54-XIV	1961	№ 974

I	2	3	4	5
I7	Пономарев Ю.Г.	Отчет о работе Нежданинской поисково-разведочной партии масштаба 1:10 000	1961	№ 805
I8	Пономарев Ю.Г., Рассоха М.В.	Отчет о работе Тыринской круглодиличной поисково-разведочной партии за 1955-1957 гг.	1957	№ 825
I9	Силичев М.К., Белозерцева Н.В.	Структура и минералого-геохимические особенности Нежданинского золоторудного месторождения	1968	№ I330
20	Скрипников В.Е., Андрянов Н.Г.	Отчет о работе Ветвистой редакционно-вязочной партии масштаба 1:200 000 за 1966-1967 гг.	1968	№ I376
21	Соловьев В.И., Борисова Л.И.	Структура и минералогия Нежданинского золоторудного месторождения	1964	№ 00II93

Приложение 2

СПИСОК ПРОМЫШЛЕННЫХ ПОЛЕЗНЫХ ИСКОПАЕМЫХ, ПОКАЗАННЫХ
НА ЛИСТЕ Р-54-XIV КАРТЫ ПОЛЕЗНЫХ ИСКОПАЕМЫХ
МАСШТАБА 1:200 000

№ по карте	Индекс клетки на карте	Наименование месторождения и вид полезного ископаемого	Состоя- ние экс- плуата- ции	Тип место- рожде- ния (К - ко- ренное, Р - рос- сыпное)	№ исполь- зованного материала по списку (прилож. I)
МЕТАЛЛИЧЕСКИЕ ИСКОПАЕМЫЕ					
Благородные металлы					
Золото					
2	I-1	Нежданинское	Не эксплуатируется	K	7, I0, I7, I9, 21, 15

Приложение 3

СПИСОК НЕПРОМЫШЛЕННЫХ МЕСТОРОЖДЕНИЙ ПОЛЕЗНЫХ ИСКОПАЕМЫХ,
ПОКАЗАННЫХ НА ЛИСТЕ Р-54-XIV КАРТЫ ПОЛЕЗНЫХ ИСКОПАЕМЫХ
МАСШТАБА 1:200 000

# по карте	Индекс клетки на карте	Наименование месторождения и вид полезно- го ископаемого	Состояние эксплуа- тации	Тип месторож- дения (К-корен- ное, Р-россып- ное)	# исполь- зованного материала по списку (прилож. I)
МЕТАЛЛИЧЕСКИЕ ИСКОПАЕМЫЕ					
Благородные металлы					
		Золото			
I	I-1	руч. Зимовье	Не экс- плуати- руется	P	I8
3	I-1	руч. М.Киде- рики	Не экс- плуати- руется	P	I8

Приложение 4

СПИСОК ПРОЯВЛЕНИЙ ПОЛЕЗНЫХ ИСКОПАЕМЫХ, ПОКАЗАННЫХ НА
ЛИСТЕ Р-54-XIV КАРТЫ ПОЛЕЗНЫХ ИСКОПАЕМЫХ
МАСШТАБА 1:200 000

# по карте	Индекс клетки на карте	Название (местонахожде- ние) проявления и вид полезного ископаемого	Характеристика проявления	# исполь- зованного материала по списку (прилож. I)
I	2	3	4	5
МЕТАЛЛИЧЕСКИЕ ИСКОПАЕМЫЕ				
Ц в е т н ы е м е т а л л ы				
Полиметаллические руды				
I7	II-4	руч. Табор	Элювиальные развали кварцевых глыб с вкрапленностью суль- фидов	20
18	II-4	руч. Оксе	Сульфидно-кварцевые жилы в зоне дробле- ния	20
20	II-4	руч. Случайный	Сульфидно-кварцевые жилы в зоне дробле- ния	8
23	II-4	руч. Ветвистый	Элювиальные развали кварцевых глыб с вкрапленностью суль- фидов	II
26	III-2	руч. Темный	Зона брекчирования и окварцевания с прожилково-вкраплен- ным оруднением	II

I	2	3	4	5
28	III-4	руч.Кубас	Зона дробления с сульфидно-кварцевыми прожилками и линзами массивных руд	20, 6
29	III-4	руч.Хогончан	Зона дробления с сульфидно-кварцевыми прожилками	20, 6
30	III-4	руч.Хогончан	Зона дробления с сульфидно-кварцевыми прожилками	20, 6
31	III-4	руч.Весенний	Кварцевые жилы с вкрапленностью сульфидов	II
36	IV-2	руч.Бурый	Зона дробления с сульфидно-кварцевыми прожилками	20
37	IV-2	руч.Лагерный	Зона брекчирования и окварцевания с прожилково-вкрапленным оруднением	20
38	IV-2	руч.Третий	Линзы вкрапленных руд в роговиках	14
40	IV-4	руч.Астрочан	Зона окварцевания с прожилково-вкрапленным оруднением и линзами массивных руд	20, 6
41	IV-4	руч.Астрочан	Гнезда вкрапленных руд в роговиках	20, 6
42	IV-4	руч.Астрочан	Кварцевые прожилки с сульфидами	20, 6

I	2	3	4	5
46	IV-4	руч.Быстрый	Зона брекчирования и окварцевания с гнездами и прожилками сульфидов	20
47	IV-4	руч.Дальний	Зона дробления с сульфидно-кварцевыми прожилками	I6, 6
48	IV-4	руч.Хаганчан	Элювиальный развал глыб массивных руд	I6, 6
			Мышьяк	
15	II-3	руч.Кыгыл-Тас	Кварцевые жилы с вкрапленностью, прожилками и гнездами арсенопирита и реже сульфидов, локализованные в южном блоке Кыгыл-Тасского разлома	2, 7, 9
32	III-4	руч.Эмкырчан	Кварцевые прожилки с арсенопиритом	20
33	III-4	руч.Эмкырчан	То же	20
			Олово	
44	IV-4	руч.Астрочан	Прожилки кассiterит-хлорит-кварцевого состава	8, I3, I6
49	IV-4	руч.Хербк	Зона передробленных алевролитов, сцементированных кварцем	4, 8, II, I6

I	2	3	4	5
19	П-4	руч.Хогончан	Шлиховой ореол рассеяния	20, 8
27	Ш-4	руч.Эмкырчан	То же	20, 8
			Редкие металлы	
			Вольфрам	
5	I-2	руч.Курум	Линзы роговиков с вкрапленностью сульфидов и шеелита	I, 7, 15
7	I-3	руч.Одинокий	Кварц-сульфидные жилы с вкрапленностью вольфрамита и шеелита	I, 3
8	I-3	руч.Тарын	Кварцевые жилы и прожилки с вкрапленностью вольфрамита, шеелита и сульфидов	I, 3
9	I-3	руч.Верный	Кварцевые прожилки с вкрапленностью вольфрамита, шеелита и сульфидов	I, 3
39	IV-4	руч.Хаман	Кварцевые прожилки с вкрапленностью вольфрамита, шеелита и галенита	II
6	I-3	руч.Бетвистый	Шлиховой ореол рассеяния	3, 20
16	П-3	руч.Весенний	То же	II, 20
25	Ш-1	руч.Хеатанджа	"	14, 20
I3	П-1	руч.Мостолкан	"	5, 20

I	2	3	4	5
I4	П-2	р.Тыры	Шлиховой ореол рассеяния	12, 13, 20
			Молибден	
21	П-4	руч.Случайный	Кварцевые прожилки с молибденитом	20
22	П-4	руч.Случайный	То же	20
43	IV-4	руч.Астрочан	"	20
45	IV-4	руч.Быстрый	"	20
			Золото	
10	П-1	руч.Кварцевый	Кварцевые жилы в зоне передробленных алевролитов	5
II	П-1	р.Тыры	Зона передробленных алевролитов сцементированных кварцем	5
12	П-1	руч.Гэльды	Зона передробленных алевролитов сцементированных кварцем	5
24	П-4	руч.Албын	Жилы сульфидно-кварцевого состава с золотом	20, 5
4	П-1	руч.Курум	Шлиховой ореол рассеяния	20, I7, 10

I	2	3	4	5
		НЕМЕТАЛЛИЧЕСКИЕ ИСКОПАЕМЫЕ Химическое сырье Флюорит		
34	III-4	руч.Эмкырчан	Кварцевые прожилки с флюоритом	20, 6
35	III-4	руч.Астрочан	То же	20, 6

В брошюре пронумеровано 91 стр.

Редактор Р.Н.Ларченко
Технический редактор С.К.Леонова
Корректор Л.П.Трензелева

Сдано в печать 14.01.85. Подписано к печати 31.01.85.

Тираж 198 экз. Формат 60x90/16 Печ.л.5,75 Заказ 3 с

Центральное специализированное
производственное хозрасчетное предприятие
объединения "Союзгеолфонд"